

SPRAWOZDANIE NR 12376/S/2021

Z POMIARÓW

NATEŻENIA POLA ELEKTROMAGNETYCZNEGO

WYKONANYCH DLA CELÓW

OCHRONY ŚRODOWISKA

| | |
|--|---|
| NAZWA OBIEKTU: | RTCN Koszalin / Gologóra |
| ZLECENIODAWCA: | Emitel S.A. |
| RODZAJ INSTALACJI: | Nadawcze systemy tele- i radiokomunikacyjne |
| DATA ZAKOŃCZENIA POMIARÓW: (Wg Prawa Ochrony Środowiska, Art 3, p. 21) | 23 sierpnia 2021 r. |

| | |
|--------------------------------|------------------------------------|
| <i>Sprawdził / Autoryzował</i> | Krzysztof Kucab |
| | <i>Krosno, 31 sierpnia 2021 r.</i> |

Sprawozdanie zawiera:

stron: 23, tabel: 3, rysunków: 1, fotografii: 1.

Spis treści:

| | |
|--|----|
| 1. Zleceniodawca..... | 3 |
| 2. Obiekt..... | 3 |
| 3. Opis pomiarów..... | 9 |
| 4. Zestaw aparatury pomiarowej..... | 10 |
| 5. Wyniki pomiarów..... | 10 |
| 6. Dopuszczalne poziomy pól elektromagnetycznych w środowisku..... | 23 |
| 7. Wartości wskaźnikowe poziomu emisji pól elektromagnetycznych..... | 23 |
| 8. Ocena oddziaływania pola na środowisko. Wnioski..... | 23 |
| 9. Oświadczenia..... | 23 |

Spis tabel:

| | |
|--|----|
| Tabela 1. Dane techniczne źródeł promieniowania elektromagnetycznego – urządzenia Emitel..... | 4 |
| Tabela 2. Dane techniczne źródeł promieniowania elektromagnetycznego – urządzenia innych operatorów..... | 7 |
| Tabela 3. Wyniki pomiarów natężenia pola elektromagnetycznego w otoczeniu obiektu RTCN Koszalin / Gologóra, w warunkach normalnej eksploatacji urządzeń..... | 11 |

Spis fotografii i rysunków:

| | |
|---|----|
| Fot. 1. RTCN Koszalin / Gologóra – widok masztów..... | 3 |
| Rys. 1. Rozmieszczenie pionów pomiarowych w otoczeniu obiektu RTCN Koszalin / Gologóra..... | 22 |



Fot. 1. RTCN Koszalin / Gologóra – widok masztów

1. Zleceniodawca

| | |
|---|--|
| Zleceniodawca pomiarów: | Emitel S.A., ul. F. Klimczaka 1, 02-797 Warszawa |
| Zlecenie: | Zamówienie nr 29563 z dnia 29 lipca 2021 roku |
| Osoba udzielająca informacji do sprawozdania: | przedstawiciel Zleceniodawcy – Koordynator ds. pomiarów pól elektromagnetycznych |

2. Obiekt

| | | | |
|--------------------------------|--|------------------|------------------|
| Właściciel instalacji: | Emitel S.A. | | |
| Nazwa: | RTCN Koszalin / Gologóra | | |
| Adres: | 76-012 Żydowo, Gologóra | | |
| Powiat / Gmina | koszaliński / Polanów | | |
| Województwo: | zachodniopomorskie | | |
| Położenie: | w otoczeniu terenów leśnych i nieużytków | | |
| Informacje dodatkowe: | obiekt ogrodzony, urządzenia nadawcze niedostępne dla osób postronnych | | |
| Współrzędne geograficzne: | maszt wysoki | N: 54° 00' 13,9" | E: 16° 44' 18,1" |
| | maszt niski | N: 54° 00' 13,6" | E: 16° 44' 17,2" |
| Wysokość posadowienia masztów: | 207 m n.p.m. | | |
| Wysokość masztów: | 115 i 271 m n.p.t. | | |
| Charakterystyka źródeł pól: | otrzymane od Zleceniodawcy dane techniczne urządzeń oraz warunki ich normalnej eksploatacji zamieszczono w tabelach nr 1 i 2 | | |

Tabela 1. Dane techniczne źródeł promieniowania elektromagnetycznego – urządzenia Emitel

| Nr źródła | | 1 | 2 | 3 | 4 | 5 | 6 |
|---------------------|--------------------------------------|----------------------------------|------------------|----------------------------------|----------------------------------|----------------------------------|---------------------|
| Użytkownik | | Emitel | Emitel | Emitel | Emitel | Emitel | RMF FM |
| Urządzenie | Nazwa i typ urządzenia | Linia radiowa | Linia radiowa | Linia radiowa | Linia radiowa | Linia radiowa | NR 8212E |
| | Numer fabryczny | 17CZ031197405 | Brak danych | 09ACZ10237692 | BE61833125 | 08ACZ10923371 | 101444 |
| | Producent | Brak danych | Brak danych | Brak danych | Brak danych | Brak danych | R&S |
| | Rok produkcji | Brak danych | Brak danych | 2009 | Brak danych | Brak danych | 2012 |
| | Rok uruchomienia | 2020 | 1991 | 2009 | 2017 | 2014 | Brak danych |
| | Dziedzina zastosowań | Radiokomunikacja | Radiokomunikacja | Radiokomunikacja | Radiokomunikacja | Radiokomunikacja | Radiodyfuzja |
| | Częstotliwość znamionowa | Pasmo 38 GHz | Pasmo 6 GHz | Pasmo 13 GHz | Pasmo 23 GHz | Pasmo 13 GHz | 89,3 MHz |
| | Rodzaj modulacji | Brak danych | Brak danych | Brak danych | Brak danych | Brak danych | FM |
| | Moc wyjściowa znamionowa | Brak danych | 30 dBm | Brak danych | Brak danych | Brak danych | 12,5 kW |
| | Moc wyjściowa rzeczywista | Brak danych | Brak danych | Brak danych | Brak danych | Brak danych | 11 kW |
| | Efektywny czas pracy źródła [h/dobę] | 24 | 24 | 24 | 24 | 24 | 24 |
| Tor | Rodzaj toru przesyłowego | Urządzenie nadawcze przy antenie | Brak danych | Urządzenie nadawcze przy antenie | Urządzenie nadawcze przy antenie | Urządzenie nadawcze przy antenie | HF 1 5/8' |
| | Długość toru | | | | | | 200 m |
| | Straty w torze | | | | | | 1,38 dB |
| Obciążenie (antena) | Rodzaj i typ obciążenia (anteny) | VHLP-38 | IPAX 12-65 | VHLP6-13S-NC3 | UKY23042/04H | VHLP2-13 | DII/06-FE |
| | Wymiar obciążenia (rozmiary anteny) | Ø 0,3 m | Ø 3 m | Ø 1,8 m | Brak danych | Ø 0,6 m | Brak danych |
| | Wysokość zainstalowania [m n.p.t.] | (Maszt niski) 70 | (Maszt niski) 80 | (Maszt niski) 90 | 135 | 148 | 166 |
| | Konfiguracja [piętra x ściany] | 1 x 1 | 1 x 1 | 1 x 1 | 1 x 1 | 1 x 1 | 4 x 3 |
| | Zysk energetyczny | Brak danych | 43,9 dBi | Brak danych | Brak danych | Brak danych | 8,21 dBd |
| | Moc promieniowana (EiRP) | Brak danych | Brak danych | Brak danych | Brak danych | Brak danych | 98,4 kW |
| | Charakterystyka promieniowania | Kierunkowa | Kierunkowa | Kierunkowa | Kierunkowa | Kierunkowa | Dookólna |
| | Azymut | 320° OM Żydowo | 83° Wojsk | 184,3° TSR Szczecinek | 20,6° Kępice | 45° OM Trzebielino PAŻP | 21,5°/141,5°/261,5° |
| | Polaryzacja | Brak danych | Brak danych | Brak danych | Brak danych | Brak danych | Pionowa |
| Producent | Andrew Corp. | SEL | Andrew Corp. | ERICSSON | Andrew Corp. | ELTI | |

Tabela 1. Dane techniczne źródeł promieniowania elektromagnetycznego – urządzenia Emitel

| Nr źródła | 7 | 8 | 9 | 10 | 11 | 12 | |
|---------------------|--------------------------------------|---------------------|---------------------|---------------------|---------------------|---------------------|--------------------|
| Użytkownik | PR 2 | PR 3 | PR Koszalin | Radio ZET | PR 1 | DVB-T MUX 8 | |
| Urządzenie | Nazwa i typ urządzenia | Nadajnik 2K10 | Nadajnik 2K10 | Nadajnik 2A10KV | EXC 3500 GX | 2K10 | DTV-M20/2R2P |
| | Numer fabryczny | 144 | 145 | 252 | GEXB-18-034 | 143 | FTX-ADA00008 |
| | Producent | Electrolink | Electrolink | Electrolink | SIELCO | Electrolink | NEC Corporation |
| | Rok produkcji | 2009 | 2009 | 2019 | 2018 | 2009 | 2016 |
| | Rok uruchomienia | 2010 | 2010 | 1997 | 2010 | 2010 | 2016 |
| | Dziedzina zastosowań | Radiodyfuzja | Radiodyfuzja | Radiodyfuzja | Radiodyfuzja | Radiodyfuzja | Radiodyfuzja |
| | Częstotliwość znamionowa | 93,8 MHz | 97,4 MHz | 103,1 MHz | 105,3 MHz | 107,9 MHz | 191,5 MHz (7k) |
| | Rodzaj modulacji | FM | FM | FM | FM | FM | Brak danych |
| | Moc wyjściowa znamionowa | 6,5 kW | 6,5 kW | 10 kW | 3,5 kW | 6,5 kW | 2,2 kW |
| | Moc wyjściowa rzeczywista | 6,43 kW | 6,24 kW | 6,37 kW | 3,14 kW | 6,07 kW | 1,17 kW |
| | Efektywny czas pracy źródła [h/dobę] | 24 | 24 | 24 | 24 | 24 | 24 |
| Tor | Rodzaj toru przesyłowego | HF 4 1/8 | HF 4 1/8' | HF 4 1/8' | HF 4 1/8' | HF 4 1/8' | HF 4 1/8' |
| | Długość toru | 230 m | 230 m | 230 m | 230 m | 230 m | 270 m |
| | Straty w torze | 1,14 dB | 1,14 dB | 1,32 dB | 1,17 dB | 1,19 dB | 2,04 dB |
| Obciążenie (antena) | Rodzaj i typ obciążenia (anteny) | DII/06-L-Fe | DII/06-L-Fe | DII/06-L-Fe | DII/06-L-Fe | DII/06-L-Fe | K 52 30 57 |
| | Wymiar obciążenia (rozmiary anteny) | Brak danych | Brak danych | Brak danych | Brak danych | Brak danych | Brak danych |
| | Wysokość zainstalowania [m n.p.t.] | 192,5 | 192,5 | 192,5 | 192,5 | 192,5 | 214 |
| | Konfiguracja [piętra x ściany] | 8 x 3 | 8 x 3 | 8 x 3 | 8 x 3 | 8 x 3 | 10 x 4 |
| | Zysk energetyczny | 10,82 dBd | 10,84 dBd | 11,05 dBd | 11,07 dBd | 11,14 dBd | 13,12 dB |
| | Moc promieniowana (EiRP) | 98,4 kW | 98,4 kW | 98,4 kW | 49,2 kW | 98,4 kW | 24,6 kW |
| | Charakterystyka promieniowania | Dookólna | Dookólna | Dookólna | Dookólna | Dookólna | Dookólna |
| | Azymut | 21,5°/141,5°/261,5° | 21,5°/141,5°/261,5° | 21,5°/141,5°/261,5° | 21,5°/141,5°/261,5° | 21,5°/141,5°/261,5° | 20°/115°/215°/300° |
| | Polaryzacja | Pozioma | Pozioma | Pozioma | Pozioma | Pozioma | Pozioma |
| Producent | ELTI | ELTI | ELTI | ELTI | ELTI | KATHREIN | |

Tabela 1. Dane techniczne źródeł promieniowania elektromagnetycznego – urządzenia Emitel

| Nr źródła | | 13 | 14 | 15 | 16 | 17 | 18 |
|---------------------|--------------------------------------|-------------------|---------------------|----------------------------|------------------|------------------------|------------------------|
| Użytkownik | | DVB-T MUX 3 | DVB-T MUX 3 | DVB-T MUX 1 | DVB-T MUX 2 | DVB-T MUX 4 | DVB-T2 MUX TVP |
| Urządzenie | Nazwa i typ urządzenia | TMU9evo | THU9evo (pomorskie) | THU9 | TDV 3006 | THU9evo | Test THU9evo |
| | Numer fabryczny | Brak danych | Brak danych | ID:2109.9004.K02-100850-Yb | 0212 | 2065.1240.30-103963-iz | 2065.1240.30-103811-SC |
| | Producent | R&S | R&S | R&S | PLISCH | R&S | R&S |
| | Rok produkcji | 2020 | 2020 | 2013 | 2011 | 2021 | 2021 |
| | Rok uruchomienia | 2014 | 2013 | Brak danych | 2011 | 2021 | 2021 |
| | Dziedzina zastosowań | Radiodyfuzja | Radiodyfuzja | Radiodyfuzja | Radiodyfuzja | Radiodyfuzja | Radiodyfuzja |
| | Częstotliwość znamionowa | 610 MHz | 690 MHz | 490 MHz | 682 MHz | 530 MHz | 658 MHz |
| | Rodzaj modulacji | Brak danych | Brak danych | Brak danych | Brak danych | Brak danych | Brak danych |
| | Moc wyjściowa znamionowa | 3,0 kW | 4,5 kW | 4,65 kW | 4,0 kW | 6,0 kW | 4,5 kW |
| | Moc wyjściowa rzeczywista | 2,9 kW | 3,8 kW | 4,15 kW | 3630 W | 4,068 kW | 1930 W |
| | Efektywny czas pracy źródła [h/dobę] | 24 | 24 | 24 | 24 | 24 | 24 |
| Tor | Rodzaj toru przesyłowego | HCA550-50J | HCA550-50J | HF 6 1/8" | HF 6 1/8' | HF 6 1/8" | HF 6 1/8' |
| | Długość toru | 260 m | 260 m | 290 m | 290 m | 290 m | 290 m |
| | Straty w torze | 1,94 dB | 2,13 dB | 2,6 dB | 2,76 dB | 2,55 dB | 2,8 dB |
| Obciążenie (antena) | Rodzaj i typ obciążenia (anteny) | RD24A 578-704 M3S | RD24A 578-704 M3S | 64 x AT 15-240 | 64 x AT 15-240 | 64 x AT 15-240 | 64 x AT 15-240 |
| | Wymiar obciążenia (rozmiary anteny) | Brak danych | Brak danych | Brak danych | Brak danych | Brak danych | Brak danych |
| | Wysokość zainstalowania [m n.p.t.] | 230 | 230 | 259,5 | 259,5 | 259,5 | 259,5 |
| | Konfiguracja [piętra x ściany] | 24 x 1 | 24 x 1 | 16 x 4 | 16 x 4 | 16 x 4 | 16 x 4 |
| | Zysk energetyczny | 15,8 dB | 16,3 dB | 16,4 dB | 17,27 dB | 16,45 dB | 16,98 dB |
| | Moc promieniowana (EiRP) | 116,4 kW | 164 kW | 164 kW | 164 kW | 164 kW | 82 kW |
| | Charakterystyka promieniowania | Dookólna | Dookólna | Dookólna | Dookólna | Dookólna | Dookólna |
| | Azymut | 270° | 80° | 0°/90°/180°/270° | 0°/90°/180°/270° | 0°/90°/180°/270° | 0°/90°/180°/270° |
| | Polaryzacja | Pozioma | Pozioma | Pozioma | Pozioma | Pozioma | Pozioma |
| | Producent | RFS | RFS | RYMSA | RYMSA | RYMSA | RYMSA |

Tabela 2. Dane techniczne źródeł promieniowania elektromagnetycznego – urządzenia innych operatorów

| Nr źródła | | 1 | 2 | 3 | 4 | 5 |
|---------------------|--------------------------------------|-------------------------|-------------------------|-------------------------|-------------------------|----------------------------|
| Użytkownik | | ATEL Alicja Wierchowska | ATEL Alicja Wierchowska | ATEL Alicja Wierchowska | ATEL Alicja Wierchowska | TOWERLINK (NORDISK Polska) |
| Urządzenie | Nazwa i typ urządzenia | Stacja bazowa | Stacja bazowa | Stacja bazowa | Linia radiowa | Stacja bazowa |
| | Dziedzina zastosowań | Radiokomunikacja | Radiokomunikacja | Radiokomunikacja | Brak danych | Radiokomunikacja |
| | Częstotliwość znamionowa | Pasmo 5 GHz | Pasmo 5 GHz | Pasmo 5 GHz | Brak danych | Pasmo 420 MHz |
| | Efektywny czas pracy źródła [h/dobę] | 24 | 24 | 24 | 24 | 24 |
| Obciążenie (antena) | Rodzaj i typ obciążenia (anteny) | 5G-23D | RB SXT 5G AC | WiFi-5GHz | 13HP | K 741516 |
| | Wymiar obciążenia (rozmiary anteny) | 0,31 x 0,31 | Brak danych | Brak danych | 0,6m | Brak danych |
| | Wysokość zainstalowania [m n.p.t.] | 39 | 40 | 40 | 40 | (M. wysoki) 2 x 58; 57 |
| | Konfiguracja [piętra x ściany] | 1 x 1 | 1 x 2 | 1 x 1 | 1 x 1 | 1 x 2; 1x1 |
| | Charakterystyka promieniowania | Sektorowa | Sektorowa | Sektorowa | Kierunkowa | Sektorowa |
| | Azymut | 255° | 75°; 165° | 220° | 250° | 0°; 120°; 240° |
| | Producent | TechnoLogic | MIKROTIK | MIKROTIK | ERICSSON | KATHREIN |

Tabela 2. Dane techniczne źródeł promieniowania elektromagnetycznego – urządzenia innych operatorów

| Nr źródła | | 6 | 7 | 8 | 9 | 10 |
|---------------------|--------------------------------------|------------------|------------------|------------------|------------------|------------------|
| Użytkownik | | TOWERLINK | P4 | P4 | P4 | P4 |
| Urządzenie | Nazwa i typ urządzenia | Stacja bazowa | Linia radiowa | Linia radiowa | Linia radiowa | Stacja bazowa |
| | Dziedzina zastosowań | Radiokomunikacja | Radiokomunikacja | Radiokomunikacja | Radiokomunikacja | Radiokomunikacja |
| | Częstotliwość znamionowa | Brak danych | Pasmo 23 GHz | Brak danych | Brak danych | Brak danych |
| | Efektywny czas pracy źródła [h/dobę] | 24 | 24 | 24 | 24 | 24 |
| Obciążenie (antena) | Rodzaj i typ obciążenia (anteny) | K80010306V02 | VHLPX2-23-HW1A | VHLPX2 | Brak danych | AQU4518R24 |
| | Wymiar obciążenia (rozmiary anteny) | Brak danych | Ø 0,6 m | Ø 0,6 m | Ø 0,6 m | Brak danych |
| | Wysokość zainstalowania [m n.p.t.] | (M. wysoki) 55,5 | (M. wysoki) 59 | (M. wysoki) 60 | (M. wysoki) 60 | (M. wysoki) 60 |
| | Konfiguracja [piętra x ściany] | 1 x 3 | 1 x 1 | 1 x 1 | 1 x 1 | 1 x 3 |
| | Charakterystyka promieniowania | Sektorowa | Kierunkowa | Kierunkowa | Kierunkowa | Sektorowa |
| | Azymut | 70°; 170°; 265° | 346° | 195° | 289° | 0°; 120°; 240° |
| | Producent | KATHREIN | ANDREW | ANDREW | ANDREW | Huawei |

Tabela 2. Dane techniczne źródeł promieniowania elektromagnetycznego – urządzenia innych operatorów

| Nr źródła | | 12 | 13 | 14 | 15 | 16 |
|---------------------|--------------------------------------|------------------|---------------------|------------------|---------------------|------------------|
| Użytkownik | | ORANGE | ORANGE | ORANGE | Pogotowie Ratunkowe | ORANGE |
| Urządzenie | Nazwa i typ urządzenia | Linia radiowa | Stacja bazowa | Linia radiowa | Stacja bazowa | Linia radiowa |
| | Dziedzina zastosowań | Radiokomunikacja | Telefonia komórkowa | Radiokomunikacja | Radiokomunikacja | Radiokomunikacja |
| | Częstotliwość znamionowa | Pasmo 23 GHz | Brak danych | Pasmo 23 GHz | pasmo 134 – 174 MHz | Pasmo 13 GHz |
| | Efektywny czas pracy źródła [h/dobę] | 24 | 24 | 24 | 24 | 24 |
| Obciążenie (antena) | Rodzaj i typ obciążenia (anteny) | VHLP2-23 | 3 x 80010817 | VHLP2-23 | Antena prętowa | VHLP2-13 |
| | Wymiar obciążenia (rozmiary anteny) | Ø 0,6 m | Brak danych | Ø 0,6 m | 5,2 m | Ø 0,6m |
| | Wysokość zainstalowania [m n.p.t.] | (M. wysoki) 60 | (Maszt wysoki) 65 | (M. wysoki) 66,8 | 70, 75 | (Maszt niski) 77 |
| | Konfiguracja [piętra x ściany] | 1 x 1 | 1 x 3 | 1 x 1 | 2 x 1 | 1 x 1 |
| | Charakterystyka promieniowania | Kierunkowa | Sektorowa | Kierunkowa | Dookólna | Kierunkowa |
| | Azymut | 244° | 30°; 170°; 290° | 244° | Brak danych | 66° |
| | Producent | Brak danych | KATHREIN | Brak danych | Brak danych | ANDREW |

Tabela 2. Dane techniczne źródeł promieniowania elektromagnetycznego – urządzenia innych operatorów

| Nr źródła | | 18 | 19 | 20 | 21 | 22 | |
|---------------------|--------------------------------------|-------------------|------------------|---------------------|-------------------|----------------------|----------------------|
| Użytkownik | | ORANGE | TelTech (SMA) | ENERGA | KWP w Szczecinie | ORANGE | TOWERLINK |
| Urządzenie | Nazwa i typ urządzenia | Linia radiowa | Stacja bazowa | Stacja bazowa | Brak danych | Linia radiowa | Linia radiowa |
| | Dziedzina zastosowań | Radiokomunikacja | Radiokomunikacja | Radiokomunikacja | Radiokomunikacja | Radiokomunikacja | Radiokomunikacja |
| | Częstotliwość znamionowa | Pasmo 15 GHz | 170,3 MHz | Pasmo 425 MHz | 173,1 MHz | Pasmo 15 GHz | Pasmo 23 GHz |
| | Efektywny czas pracy źródła [h/dobę] | 24 | 24 | 24 | 24 | 24 | 24 |
| Obciążenie (antena) | Rodzaj i typ obciążenia (anteny) | RLA15-06 | 3282 | A5043015 | SDM4-160h | VHLP1-15-1GR | VHLP4-22A |
| | Wymiar obciążenia (rozmiary anteny) | Ø 0,6m | 3m | 3m | Brak danych | Ø 0,3m | Ø 1,2m |
| | Wysokość zainstalowania [m n.p.t.] | (Maszt wysoki) 84 | (Maszt niski) 91 | (Maszt niski) 100,5 | (Maszt niski) 107 | (Maszt wysoki) 128,5 | (Maszt wysoki) 130,6 |
| | Konfiguracja [piętra x ściany] | 1 x 1 | 1 x 1 | 1 x 6 | 1 x 1 | 1 x 1 | 1 x 1 |
| | Charakterystyka promieniowania | Kierunkowa | Dookólna | Sektorowa | Dookólna | Kierunkowa | Kierunkowa |
| | Azymut | 146° | - | 100°/ 220°/340° | - | 342° | 254° |
| | Producent | Brak danych | Radmor | AMPHENOL | Brak danych | Andrew Corp. | ANDREW |

| 3. Opis pomiarów | |
|--|---|
| Podstawa wykonania pomiarów: | |
| - Ustawa z dnia 27 kwietnia 2001 r. Prawo ochrony środowiska /tekst pierwotny: Dz.U. 2001.62.627, tekst ujednolicony: Dz.U. z 2020 poz. 1219, 1378, 1565 | |
| Metodyka pomiarowa zgodna z: | |
| - Rozporządzeniem Ministra Zdrowia z dnia 17 grudnia 2019 r. w sprawie dopuszczalnych poziomów pól elektromagnetycznych w środowisku /Dz.U. 2019 poz. 2448/ | |
| - Rozporządzeniem Ministra Klimatu z dnia 17 lutego 2020 r. w sprawie sposobów sprawdzania dotrzymania dopuszczalnych poziomów pól elektromagnetycznych w środowisku /Dz.U. 2020 poz. 258, pkt 25 ppkt 1/ | |
| Miejsca przeprowadzenia pomiarów: | obszar pomiarowy w otoczeniu obiektu, wyznaczony zgodnie z obowiązującą metodyką pomiarową; ze względu na zagrożenie wirusem COVID-19 pomiary wykonano w miejscach ogólnie dostępnych - nie wykonywano pomiarów w budynkach |
| Data pomiarów w terenie: | 11 sierpnia 2021 r. |
| Warunki ekspozycji: | normalne warunki eksploatacji urządzeń |
| Temperatura zewnętrzna: | +18,5 ÷ 21,0°C |
| Wilgotność powietrza: | 55 ÷ 60 % |
| Opady atmosferyczne: | brak |
| Wykonawca pomiarów: | Gonet i Wspólnicy, Spółka Jawna, ul. Armii Krajowej 3/306, 38-400 Krosno; Laboratorium Badawcze |
| System zarządzania jakością: | zgodny z PN-EN ISO/IEC 17025:2018 |
| Potwierdzenie kompetencji laboratorium: | akredytacja PCA nr AB 791, ważna do dnia 15.03.2023 r. *) |
| *) akredytacja Laboratorium w odniesieniu do normy PN-EN ISO/IEC 17025:2018 oznacza spełnienie wymagań dotyczących kompetencji technicznych i systemu zarządzania, koniecznych dla zapewnienia wiarygodnych technicznie wyników badań; aktualny status oraz zakres akredytacji jest dostępny na stronie www.pca.gov.pl | |
| Pomiary wykonali: | Kazimierz Zorn – specjalista ds. pomiarów środowiskowych Piotr Woronecki – asystent ds. pomiarów |
| Sposób identyfikacji widma pola: | na podstawie dokumentacji technicznej dostarczonej przez Zleceniodawcę |
| Zakres częstotliwości emitowanych pól: | pasmo od 88 MHz do 38 GHz |

| | |
|--|--|
| 4. Zestaw aparatury pomiarowej | |
| Szerokopasmowy miernik natężenia pola elektromagnetycznego: | |
| typ: NARDA NBM-550 | nr fabryczny: B-0162 |
| zakres temperatury pracy: -10°C do +50°C; zakres wilgotności względnej: 5% do 95% | |
| sonda EF-6091 nr 01018 | zakres pomiaru: częstotliwość $f \in < 80 \text{ MHz} \div 45 \text{ GHz} >$; natężenie pola elektrycznego $E \in < 1,0 \div 300 \text{ V/m} >$; niepewność rozszerzona pomiaru $U_B < 49 \%$, (wsp. rozszerzenia $k_B = 2$; metoda B) |
| Świadectwo wzorcowania: | nr LWiMP/W/324/20 z dnia 27.11.2020 r. |
| Bieżąca kontrola metrologiczna: | zgodnie z instrukcją roboczą IR-07 – przyrząd sprawny |
| Wyznaczenie niepewności rozszerzonej pomiaru: | zgodnie z procedurą PSZ-12 |
| Termohigrometr: | |
| Typ: LB-103 | nr fabryczny: 9871 |
| świadectwo wzorcowania: | 1672/AH/18 z dnia 23.08.2018 r. |
| Odbiornik GPS: | |
| typ: | ETREX |
| nr fabryczny: | 89787628 |
| 5. Wyniki pomiarów | |
| Wyniki pomiarów natężenia pola elektromagnetycznego w otoczeniu obiektu RTCN Koszalin / Gołogóra zestawiono w poniższej tabeli. Ze względu na radiodfuzyjny charakter obiektu do wyliczeń wartości wskaźnikowych emisji pól elektromagnetycznych przyjęto mnożnik 1,0. | |
| Rozmieszczenie pionów pomiarowych przedstawiono graficznie na rysunku 1. oraz opisowo w tabeli z wynikami pomiarów. | |
| Laboratorium przy stwierdzaniu zgodności z wymaganiem stosuje zasadę podejmowania decyzji w oparciu o Rozporządzenie Ministra Klimatu z dnia 17 lutego 2020 r. w sprawie sposobów sprawdzania dotrzymania dopuszczalnych poziomów pól elektromagnetycznych w środowisku - niepewność pomiaru jest uwzględniana w obliczeniach wartości wskaźnikowych poziomu emisji pól elektromagnetycznych dla miejsc dostępnych dla ludności. | |

Tabela 3. Wyniki pomiarów natężenia pola elektromagnetycznego w otoczeniu obiektu RTCN Koszalin / Gologóra, w warunkach normalnej eksploatacji urządzeń

| Nr pionu pomiarowego | Opis miejsca pomiaru | Współrzędne geograficzne pionu pomiarowego | | Wynik pomiaru natężenia pola elektrycznego E w paśmie częstotliwości 80 MHz – 45 GHz | | | Wyliczona wartość natężenia pola magnetycznego H w paśmie częstotliwości 80 MHz – 45 GHz (na podstawie wartości E): |
|----------------------|---|--|-------------|--|------------------|---|---|
| | | | | Max. wartość zmierzona | Wysokość pomiaru | Wartość E po uwzględnieniu poprawek i niepewności | |
| - | - | N | E | [V/m] | [m] | [V/m] | [A/m] |
| A1 | Na kierunku maksymalnej emisji anten 0° | 54°0'16,3" | 16°44'18,1" | < 2,0 | 0,3 – 2,0 | < 3,0 | < 0,008 |
| A2 | Na kierunku maksymalnej emisji anten 0° | 54°0'17" | 16°44'18,1" | < 2,0 | 0,3 – 2,0 | < 3,0 | < 0,008 |
| A3 | Na kierunku maksymalnej emisji anten 0° | 54°0'17,7" | 16°44'18,1" | < 2,0 | 0,3 – 2,0 | < 3,0 | < 0,008 |
| A4 | Na kierunku maksymalnej emisji anten 0° | 54°0'18,4" | 16°44'18,1" | < 2,0 | 0,3 – 2,0 | < 3,0 | < 0,008 |
| A5 | Na kierunku maksymalnej emisji anten 0° | 54°0'19,1" | 16°44'18,1" | < 2,0 | 0,3 – 2,0 | < 3,0 | < 0,008 |
| A6 | Na kierunku maksymalnej emisji anten 0° | 54°0'19,8" | 16°44'18,1" | < 2,0 | 0,3 – 2,0 | < 3,0 | < 0,008 |
| A7 | Na kierunku maksymalnej emisji anten 0° | 54°0'20,5" | 16°44'18,1" | < 2,0 | 0,3 – 2,0 | < 3,0 | < 0,008 |
| A8 | Na kierunku maksymalnej emisji anten 0° | 54°0'21,1" | 16°44'18,1" | < 2,0 | 0,3 – 2,0 | < 3,0 | < 0,008 |
| A9 | Na kierunku maksymalnej emisji anten 0° | 54°0'21,8" | 16°44'18,1" | < 2,0 | 0,3 – 2,0 | < 3,0 | < 0,008 |
| A10 | Na kierunku maksymalnej emisji anten 0° | 54°0'22,5" | 16°44'18,1" | < 2,0 | 0,3 – 2,0 | < 3,0 | < 0,008 |
| A11 | Na kierunku maksymalnej emisji anten 0° | 54°0'23,2" | 16°44'18,1" | < 2,0 | 0,3 – 2,0 | < 3,0 | < 0,008 |
| A12 | Na kierunku maksymalnej emisji anten 0° | 54°0'23,9" | 16°44'18,1" | < 2,0 | 0,3 – 2,0 | < 3,0 | < 0,008 |
| A13 | Na kierunku maksymalnej emisji anten 0° | 54°0'24,6" | 16°44'18,1" | < 2,0 | 0,3 – 2,0 | < 3,0 | < 0,008 |
| A14 | Na kierunku maksymalnej emisji anten 0° | 54°0'25,3" | 16°44'18,1" | < 2,0 | 0,3 – 2,0 | < 3,0 | < 0,008 |
| A15 | Na kierunku maksymalnej emisji anten 0° | 54°0'26" | 16°44'18,1" | < 2,0 | 0,3 – 2,0 | < 3,0 | < 0,008 |
| A16 | Na kierunku maksymalnej emisji anten 0° | 54°0'26,7" | 16°44'18,1" | < 2,0 | 0,3 – 2,0 | < 3,0 | < 0,008 |
| A17 | Na kierunku maksymalnej emisji anten 0° | 54°0'27,4" | 16°44'18,1" | < 2,0 | 0,3 – 2,0 | < 3,0 | < 0,008 |
| A18 | Na kierunku maksymalnej emisji anten 0° | 54°0'28,1" | 16°44'18,1" | < 2,0 | 0,3 – 2,0 | < 3,0 | < 0,008 |
| A19 | Na kierunku maksymalnej emisji anten 0° | 54°0'28,8" | 16°44'18,1" | < 2,0 | 0,3 – 2,0 | < 3,0 | < 0,008 |
| A20 | Na kierunku maksymalnej emisji anten 0° | 54°0'29,5" | 16°44'18,1" | < 2,0 | 0,3 – 2,0 | < 3,0 | < 0,008 |
| A21 | Na kierunku maksymalnej emisji anten 0° | 54°0'30,2" | 16°44'18,1" | < 2,0 | 0,3 – 2,0 | < 3,0 | < 0,008 |
| A22 | Na kierunku maksymalnej emisji anten 0° | 54°0'30,8" | 16°44'18,1" | < 2,0 | 0,3 – 2,0 | < 3,0 | < 0,008 |
| A23 | Na kierunku maksymalnej emisji anten 0° | 54°0'31,5" | 16°44'18,1" | < 2,0 | 0,3 – 2,0 | < 3,0 | < 0,008 |
| A24 | Na kierunku maksymalnej emisji anten 0° | 54°0'32,2" | 16°44'18,1" | < 2,0 | 0,3 – 2,0 | < 3,0 | < 0,008 |
| A25 | Na kierunku maksymalnej emisji anten 0° | 54°0'32,9" | 16°44'18,1" | < 2,0 | 0,3 – 2,0 | < 3,0 | < 0,008 |
| A26 | Na kierunku maksymalnej emisji anten 0° | 54°0'33,6" | 16°44'18,1" | < 2,0 | 0,3 – 2,0 | < 3,0 | < 0,008 |
| A27 | Na kierunku maksymalnej emisji anten 0° | 54°0'34,3" | 16°44'18,1" | < 2,0 | 0,3 – 2,0 | < 3,0 | < 0,008 |
| A28 | Na kierunku maksymalnej emisji anten 0° | 54°0'35" | 16°44'18,1" | < 2,0 | 0,3 – 2,0 | < 3,0 | < 0,008 |

Tabela 3. Wyniki pomiarów natężenia pola elektromagnetycznego w otoczeniu obiektu RTCN Koszalin / Gologóra, w warunkach normalnej eksploatacji urządzeń

| Nr pionu pomiarowego | Opis miejsca pomiaru | Współrzędne geograficzne pionu pomiarowego | | Wynik pomiaru natężenia pola elektrycznego E w paśmie częstotliwości 80 MHz – 45 GHz | | | Wyliczona wartość natężenia pola magnetycznego H w paśmie częstotliwości 80 MHz – 45 GHz (na podstawie wartości E): |
|----------------------|--|--|-------------|--|------------------|---|---|
| | | | | Max. wartość zmierzona | Wysokość pomiaru | Wartość E po uwzględnieniu poprawek i niepewności | |
| - | - | N | E | [V/m] | [m] | [V/m] | [A/m] |
| B1 | Na kierunku maksymalnej emisji anten 20° i 21,5° | 54°0'15" | 16°44'19,2" | < 2,0 | 0,3 – 2,0 | < 3,0 | < 0,008 |
| B2 | Na kierunku maksymalnej emisji anten 20° i 21,5° | 54°0'15,6" | 16°44'19,5" | < 2,0 | 0,3 – 2,0 | < 3,0 | < 0,008 |
| B3 | Na kierunku maksymalnej emisji anten 20° i 21,5° | 54°0'16,3" | 16°44'19,9" | < 2,0 | 0,3 – 2,0 | < 3,0 | < 0,008 |
| B4 | Na kierunku maksymalnej emisji anten 20° i 21,5° | 54°0'16,9" | 16°44'20,2" | < 2,0 | 0,3 – 2,0 | < 3,0 | < 0,008 |
| B5 | Na kierunku maksymalnej emisji anten 20° i 21,5° | 54°0'17,5" | 16°44'20,6" | < 2,0 | 0,3 – 2,0 | < 3,0 | < 0,008 |
| B6 | Na kierunku maksymalnej emisji anten 20° i 21,5° | 54°0'18,2" | 16°44'20,9" | < 2,0 | 0,3 – 2,0 | < 3,0 | < 0,008 |
| B7 | Na kierunku maksymalnej emisji anten 20° i 21,5° | 54°0'18,8" | 16°44'21,3" | < 2,0 | 0,3 – 2,0 | < 3,0 | < 0,008 |
| B8 | Na kierunku maksymalnej emisji anten 20° i 21,5° | 54°0'19,4" | 16°44'21,6" | < 2,0 | 0,3 – 2,0 | < 3,0 | < 0,008 |
| B9 | Na kierunku maksymalnej emisji anten 20° i 21,5° | 54°0'20,7" | 16°44'22,3" | < 2,0 | 0,3 – 2,0 | < 3,0 | < 0,008 |
| B10 | Na kierunku maksymalnej emisji anten 20° i 21,5° | 54°0'21,3" | 16°44'22,7" | < 2,0 | 0,3 – 2,0 | < 3,0 | < 0,008 |
| B11 | Na kierunku maksymalnej emisji anten 20° i 21,5° | 54°0'22" | 16°44'23" | < 2,0 | 0,3 – 2,0 | < 3,0 | < 0,008 |
| B12 | Na kierunku maksymalnej emisji anten 20° i 21,5° | 54°0'22,6" | 16°44'23,4" | < 2,0 | 0,3 – 2,0 | < 3,0 | < 0,008 |
| B13 | Na kierunku maksymalnej emisji anten 20° i 21,5° | 54°0'23,2" | 16°44'23,7" | < 2,0 | 0,3 – 2,0 | < 3,0 | < 0,008 |
| B14 | Na kierunku maksymalnej emisji anten 20° i 21,5° | 54°0'24,5" | 16°44'24,4" | < 2,0 | 0,3 – 2,0 | < 3,0 | < 0,008 |
| B15 | Na kierunku maksymalnej emisji anten 20° i 21,5° | 54°0'25,2" | 16°44'24,8" | < 2,0 | 0,3 – 2,0 | < 3,0 | < 0,008 |
| B16 | Na kierunku maksymalnej emisji anten 20° i 21,5° | 54°0'25,8" | 16°44'25,1" | < 2,0 | 0,3 – 2,0 | < 3,0 | < 0,008 |
| B17 | Na kierunku maksymalnej emisji anten 20° i 21,5° | 54°0'26,4" | 16°44'25,5" | < 2,0 | 0,3 – 2,0 | < 3,0 | < 0,008 |
| B18 | Na kierunku maksymalnej emisji anten 20° i 21,5° | 54°0'27,1" | 16°44'25,8" | < 2,0 | 0,3 – 2,0 | < 3,0 | < 0,008 |
| B19 | Na kierunku maksymalnej emisji anten 20° i 21,5° | 54°0'27,7" | 16°44'26,2" | < 2,0 | 0,3 – 2,0 | < 3,0 | < 0,008 |
| B20 | Na kierunku maksymalnej emisji anten 20° i 21,5° | 54°0'28,3" | 16°44'26,5" | < 2,0 | 0,3 – 2,0 | < 3,0 | < 0,008 |
| B21 | Na kierunku maksymalnej emisji anten 20° i 21,5° | 54°0'29" | 16°44'26,9" | < 2,0 | 0,3 – 2,0 | < 3,0 | < 0,008 |
| B22 | Na kierunku maksymalnej emisji anten 20° i 21,5° | 54°0'29,6" | 16°44'27,2" | < 2,0 | 0,3 – 2,0 | < 3,0 | < 0,008 |
| B23 | Na kierunku maksymalnej emisji anten 20° i 21,5° | 54°0'30,2" | 16°44'27,6" | < 2,0 | 0,3 – 2,0 | < 3,0 | < 0,008 |
| B24 | Na kierunku maksymalnej emisji anten 20° i 21,5° | 54°0'30,9" | 16°44'27,9" | < 2,0 | 0,3 – 2,0 | < 3,0 | < 0,008 |
| B25 | Na kierunku maksymalnej emisji anten 20° i 21,5° | 54°0'31,5" | 16°44'28,3" | < 2,0 | 0,3 – 2,0 | < 3,0 | < 0,008 |
| B26 | Na kierunku maksymalnej emisji anten 20° i 21,5° | 54°0'32,1" | 16°44'28,6" | < 2,0 | 0,3 – 2,0 | < 3,0 | < 0,008 |
| B27 | Na kierunku maksymalnej emisji anten 20° i 21,5° | 54°0'32,8" | 16°44'29" | < 2,0 | 0,3 – 2,0 | < 3,0 | < 0,008 |
| B28 | Na kierunku maksymalnej emisji anten 20° i 21,5° | 54°0'33,4" | 16°44'29,3" | < 2,0 | 0,3 – 2,0 | < 3,0 | < 0,008 |

Tabela 3. Wyniki pomiarów natężenia pola elektromagnetycznego w otoczeniu obiektu RTCN Koszalin / Gologóra, w warunkach normalnej eksploatacji urządzeń

| Nr pionu pomiarowego | Opis miejsca pomiaru | Współrzędne geograficzne pionu pomiarowego | | Wynik pomiaru natężenia pola elektrycznego E w paśmie częstotliwości 80 MHz – 45 GHz | | | Wyliczona wartość natężenia pola magnetycznego H w paśmie częstotliwości 80 MHz – 45 GHz (na podstawie wartości E): |
|----------------------|--|--|-------------|--|------------------|---|---|
| | | | | Max. wartość zmierzona | Wysokość pomiaru | Wartość E po uwzględnieniu poprawek i niepewności | |
| - | - | N | E | [V/m] | [m] | [V/m] | [A/m] |
| C1 | Na kierunku maksymalnej emisji anten 80° | 54°0'14" | 16°44'19,1" | < 2,0 | 0,3 – 2,0 | < 3,0 | < 0,008 |
| C2 | Na kierunku maksymalnej emisji anten 80° | 54°0'14,1" | 16°44'20,2" | < 2,0 | 0,3 – 2,0 | < 3,0 | < 0,008 |
| C3 | Na kierunku maksymalnej emisji anten 80° | 54°0'14,3" | 16°44'21,3" | < 2,0 | 0,3 – 2,0 | < 3,0 | < 0,008 |
| C4 | Na kierunku maksymalnej emisji anten 80° | 54°0'14,4" | 16°44'22,4" | < 2,0 | 0,3 – 2,0 | < 3,0 | < 0,008 |
| C5 | Na kierunku maksymalnej emisji anten 80° | 54°0'14,5" | 16°44'23,5" | 2,2 | 0,7 | 3,3* | 0,009* |
| C6 | Na kierunku maksymalnej emisji anten 80° | 54°0'14,7" | 16°44'24,6" | 2,2 | 0,6 | 3,3 | 0,009 |
| C7 | Na kierunku maksymalnej emisji anten 80° | 54°0'14,8" | 16°44'25,7" | 2,1 | 0,7 | 3,1 | 0,008 |
| C8 | Na kierunku maksymalnej emisji anten 80° | 54°0'14,9" | 16°44'26,8" | < 2,0 | 0,3 – 2,0 | < 3,0 | < 0,008 |
| C9 | Na kierunku maksymalnej emisji anten 80° | 54°0'15,1" | 16°44'28" | < 2,0 | 0,3 – 2,0 | < 3,0 | < 0,008 |
| C10 | Na kierunku maksymalnej emisji anten 80° | 54°0'15,2" | 16°44'29,1" | < 2,0 | 0,3 – 2,0 | < 3,0 | < 0,008 |
| C11 | Na kierunku maksymalnej emisji anten 80° | 54°0'15,3" | 16°44'30,2" | < 2,0 | 0,3 – 2,0 | < 3,0 | < 0,008 |
| C12 | Na kierunku maksymalnej emisji anten 80° | 54°0'16,2" | 16°44'36,8" | < 2,0 | 0,3 – 2,0 | < 3,0 | < 0,008 |
| C13 | Na kierunku maksymalnej emisji anten 80° | 54°0'16,3" | 16°44'37,9" | < 2,0 | 0,3 – 2,0 | < 3,0 | < 0,008 |
| C14 | Na kierunku maksymalnej emisji anten 80° | 54°0'16,4" | 16°44'39" | < 2,0 | 0,3 – 2,0 | < 3,0 | < 0,008 |
| C15 | Na kierunku maksymalnej emisji anten 80° | 54°0'16,6" | 16°44'40,1" | < 2,0 | 0,3 – 2,0 | < 3,0 | < 0,008 |
| C16 | Na kierunku maksymalnej emisji anten 80° | 54°0'16,8" | 16°44'42,3" | < 2,0 | 0,3 – 2,0 | < 3,0 | < 0,008 |
| C17 | Na kierunku maksymalnej emisji anten 80° | 54°0'17" | 16°44'43,5" | < 2,0 | 0,3 – 2,0 | < 3,0 | < 0,008 |
| C18 | Na kierunku maksymalnej emisji anten 80° | 54°0'17,1" | 16°44'44,6" | < 2,0 | 0,3 – 2,0 | < 3,0 | < 0,008 |
| C19 | Na kierunku maksymalnej emisji anten 80° | 54°0'17,2" | 16°44'45,7" | < 2,0 | 0,3 – 2,0 | < 3,0 | < 0,008 |
| C20 | Na kierunku maksymalnej emisji anten 80° | 54°0'17,4" | 16°44'46,8" | < 2,0 | 0,3 – 2,0 | < 3,0 | < 0,008 |
| C21 | Na kierunku maksymalnej emisji anten 80° | 54°0'17,5" | 16°44'47,9" | < 2,0 | 0,3 – 2,0 | < 3,0 | < 0,008 |
| C22 | Na kierunku maksymalnej emisji anten 80° | 54°0'17,6" | 16°44'49" | < 2,0 | 0,3 – 2,0 | < 3,0 | < 0,008 |
| C23 | Na kierunku maksymalnej emisji anten 80° | 54°0'17,8" | 16°44'50,1" | < 2,0 | 0,3 – 2,0 | < 3,0 | < 0,008 |
| C24 | Na kierunku maksymalnej emisji anten 80° | 54°0'17,9" | 16°44'51,2" | < 2,0 | 0,3 – 2,0 | < 3,0 | < 0,008 |
| D1 | Na kierunku maksymalnej emisji anten 90° | 54°0'13,9" | 16°44'19,3" | < 2,0 | 0,3 – 2,0 | < 3,0 | < 0,008 |
| D2 | Na kierunku maksymalnej emisji anten 90° | 54°0'13,9" | 16°44'20,4" | < 2,0 | 0,3 – 2,0 | < 3,0 | < 0,008 |
| D3 | Na kierunku maksymalnej emisji anten 90° | 54°0'13,9" | 16°44'21,6" | < 2,0 | 0,3 – 2,0 | < 3,0 | < 0,008 |
| D4 | Na kierunku maksymalnej emisji anten 90° | 54°0'13,9" | 16°44'22,7" | < 2,0 | 0,3 – 2,0 | < 3,0 | < 0,008 |

Tabela 3. Wyniki pomiarów natężenia pola elektromagnetycznego w otoczeniu obiektu RTCN Koszalin / Gologóra, w warunkach normalnej eksploatacji urządzeń

| Nr pionu pomiarowego | Opis miejsca pomiaru | Współrzędne geograficzne pionu pomiarowego | | Wynik pomiaru natężenia pola elektrycznego E w paśmie częstotliwości 80 MHz – 45 GHz | | | Wyliczona wartość natężenia pola magnetycznego H w paśmie częstotliwości 80 MHz – 45 GHz (na podstawie wartości E): |
|----------------------|---|--|-------------|--|------------------|---|---|
| | | | | Max. wartość zmierzona | Wysokość pomiaru | Wartość E po uwzględnieniu poprawek i niepewności | |
| - | - | N | E | [V/m] | [m] | [V/m] | [A/m] |
| D5 | Na kierunku maksymalnej emisji anten 90° | 54°0'13,9" | 16°44'23,9" | 2,1 | 0,7 | 3,1 | 0,008 |
| D6 | Na kierunku maksymalnej emisji anten 90° | 54°0'13,9" | 16°44'25" | 2,1 | 0,7 | 3,1 | 0,008 |
| D7 | Na kierunku maksymalnej emisji anten 90° | 54°0'13,9" | 16°44'26,1" | < 2,0 | 0,3 – 2,0 | < 3,0 | < 0,008 |
| D8 | Na kierunku maksymalnej emisji anten 90° | 54°0'13,9" | 16°44'27,3" | < 2,0 | 0,3 – 2,0 | < 3,0 | < 0,008 |
| D9 | Na kierunku maksymalnej emisji anten 90° | 54°0'13,9" | 16°44'28,4" | < 2,0 | 0,3 – 2,0 | < 3,0 | < 0,008 |
| D10 | Na kierunku maksymalnej emisji anten 90° | 54°0'13,9" | 16°44'29,5" | < 2,0 | 0,3 – 2,0 | < 3,0 | < 0,008 |
| D11 | Na kierunku maksymalnej emisji anten 90° | 54°0'13,9" | 16°44'30,7" | < 2,0 | 0,3 – 2,0 | < 3,0 | < 0,008 |
| D12 | Na kierunku maksymalnej emisji anten 90° | 54°0'13,9" | 16°44'31,8" | < 2,0 | 0,3 – 2,0 | < 3,0 | < 0,008 |
| D13 | Na kierunku maksymalnej emisji anten 90° | 54°0'13,9" | 16°44'33" | < 2,0 | 0,3 – 2,0 | < 3,0 | < 0,008 |
| D14 | Na kierunku maksymalnej emisji anten 90° | 54°0'13,9" | 16°44'34,1" | < 2,0 | 0,3 – 2,0 | < 3,0 | < 0,008 |
| D15 | Na kierunku maksymalnej emisji anten 90° | 54°0'13,9" | 16°44'37,5" | < 2,0 | 0,3 – 2,0 | < 3,0 | < 0,008 |
| D16 | Na kierunku maksymalnej emisji anten 90° | 54°0'13,9" | 16°44'38,6" | < 2,0 | 0,3 – 2,0 | < 3,0 | < 0,008 |
| D17 | Na kierunku maksymalnej emisji anten 90° | 54°0'13,9" | 16°44'39,8" | < 2,0 | 0,3 – 2,0 | < 3,0 | < 0,008 |
| D18 | Na kierunku maksymalnej emisji anten 90° | 54°0'13,9" | 16°44'40,9" | < 2,0 | 0,3 – 2,0 | < 3,0 | < 0,008 |
| D19 | Na kierunku maksymalnej emisji anten 90° | 54°0'13,9" | 16°44'42,1" | < 2,0 | 0,3 – 2,0 | < 3,0 | < 0,008 |
| D20 | Na kierunku maksymalnej emisji anten 90° | 54°0'13,9" | 16°44'43,2" | < 2,0 | 0,3 – 2,0 | < 3,0 | < 0,008 |
| D21 | Na kierunku maksymalnej emisji anten 90° | 54°0'13,9" | 16°44'44,3" | < 2,0 | 0,3 – 2,0 | < 3,0 | < 0,008 |
| D22 | Na kierunku maksymalnej emisji anten 90° | 54°0'13,9" | 16°44'45,5" | < 2,0 | 0,3 – 2,0 | < 3,0 | < 0,008 |
| D23 | Na kierunku maksymalnej emisji anten 90° | 54°0'13,9" | 16°44'46,6" | < 2,0 | 0,3 – 2,0 | < 3,0 | < 0,008 |
| D24 | Na kierunku maksymalnej emisji anten 90° | 54°0'13,9" | 16°44'47,7" | < 2,0 | 0,3 – 2,0 | < 3,0 | < 0,008 |
| D25 | Na kierunku maksymalnej emisji anten 90° | 54°0'13,9" | 16°44'48,9" | < 2,0 | 0,3 – 2,0 | < 3,0 | < 0,008 |
| D26 | Na kierunku maksymalnej emisji anten 90° | 54°0'13,9" | 16°44'50" | < 2,0 | 0,3 – 2,0 | < 3,0 | < 0,008 |
| D27 | Na kierunku maksymalnej emisji anten 90° | 54°0'13,9" | 16°44'51,2" | < 2,0 | 0,3 – 2,0 | < 3,0 | < 0,008 |
| D28 | Na kierunku maksymalnej emisji anten 90° | 54°0'13,9" | 16°44'52,3" | < 2,0 | 0,3 – 2,0 | < 3,0 | < 0,008 |
| E1 | Na kierunku maksymalnej emisji anten 115° | 54°0'13,5" | 16°44'19,4" | < 2,0 | 0,3 – 2,0 | < 3,0 | < 0,008 |
| E2 | Na kierunku maksymalnej emisji anten 115° | 54°0'13,2" | 16°44'20,5" | < 2,0 | 0,3 – 2,0 | < 3,0 | < 0,008 |
| E3 | Na kierunku maksymalnej emisji anten 115° | 54°0'13" | 16°44'21,5" | < 2,0 | 0,3 – 2,0 | < 3,0 | < 0,008 |
| E4 | Na kierunku maksymalnej emisji anten 115° | 54°0'12,7" | 16°44'22,6" | < 2,0 | 0,3 – 2,0 | < 3,0 | < 0,008 |

Tabela 3. Wyniki pomiarów natężenia pola elektromagnetycznego w otoczeniu obiektu RTCN Koszalin / Gologóra, w warunkach normalnej eksploatacji urządzeń

| Nr pionu pomiarowego | Opis miejsca pomiaru | Współrzędne geograficzne pionu pomiarowego | | Wynik pomiaru natężenia pola elektrycznego E w paśmie częstotliwości 80 MHz – 45 GHz | | | Wyliczona wartość natężenia pola magnetycznego H w paśmie częstotliwości 80 MHz – 45 GHz (na podstawie wartości E): |
|----------------------|---|--|-------------|--|------------------|---|---|
| | | | | Max. wartość zmierzona | Wysokość pomiaru | Wartość E po uwzględnieniu poprawek i niepewności | |
| - | - | N | E | [V/m] | [m] | [V/m] | [A/m] |
| E5 | Na kierunku maksymalnej emisji anten 115° | 54°0'12,4" | 16°44'23,7" | < 2,0 | 0,3 – 2,0 | < 3,0 | < 0,008 |
| E6 | Na kierunku maksymalnej emisji anten 115° | 54°0'12,2" | 16°44'24,7" | < 2,0 | 0,3 – 2,0 | < 3,0 | < 0,008 |
| E7 | Na kierunku maksymalnej emisji anten 115° | 54°0'11,9" | 16°44'25,8" | < 2,0 | 0,3 – 2,0 | < 3,0 | < 0,008 |
| E8 | Na kierunku maksymalnej emisji anten 115° | 54°0'11,6" | 16°44'26,9" | < 2,0 | 0,3 – 2,0 | < 3,0 | < 0,008 |
| E9 | Na kierunku maksymalnej emisji anten 115° | 54°0'11,3" | 16°44'27,9" | < 2,0 | 0,3 – 2,0 | < 3,0 | < 0,008 |
| E10 | Na kierunku maksymalnej emisji anten 115° | 54°0'11,1" | 16°44'29" | < 2,0 | 0,3 – 2,0 | < 3,0 | < 0,008 |
| E11 | Na kierunku maksymalnej emisji anten 115° | 54°0'10,8" | 16°44'30,1" | < 2,0 | 0,3 – 2,0 | < 3,0 | < 0,008 |
| E12 | Na kierunku maksymalnej emisji anten 115° | 54°0'10,5" | 16°44'31,1" | < 2,0 | 0,3 – 2,0 | < 3,0 | < 0,008 |
| E13 | Na kierunku maksymalnej emisji anten 115° | 54°0'10,3" | 16°44'32,2" | < 2,0 | 0,3 – 2,0 | < 3,0 | < 0,008 |
| E14 | Na kierunku maksymalnej emisji anten 115° | 54°0'10" | 16°44'33,3" | < 2,0 | 0,3 – 2,0 | < 3,0 | < 0,008 |
| E15 | Na kierunku maksymalnej emisji anten 115° | 54°0'9,7" | 16°44'34,3" | < 2,0 | 0,3 – 2,0 | < 3,0 | < 0,008 |
| E16 | Na kierunku maksymalnej emisji anten 115° | 54°0'9,5" | 16°44'35,4" | < 2,0 | 0,3 – 2,0 | < 3,0 | < 0,008 |
| E17 | Na kierunku maksymalnej emisji anten 115° | 54°0'9,2" | 16°44'36,4" | < 2,0 | 0,3 – 2,0 | < 3,0 | < 0,008 |
| E18 | Na kierunku maksymalnej emisji anten 115° | 54°0'8,9" | 16°44'37,5" | < 2,0 | 0,3 – 2,0 | < 3,0 | < 0,008 |
| E19 | Na kierunku maksymalnej emisji anten 115° | 54°0'8,7" | 16°44'38,6" | < 2,0 | 0,3 – 2,0 | < 3,0 | < 0,008 |
| E20 | Na kierunku maksymalnej emisji anten 115° | 54°0'8,4" | 16°44'39,6" | < 2,0 | 0,3 – 2,0 | < 3,0 | < 0,008 |
| E21 | Na kierunku maksymalnej emisji anten 115° | 54°0'8,1" | 16°44'40,7" | < 2,0 | 0,3 – 2,0 | < 3,0 | < 0,008 |
| E22 | Na kierunku maksymalnej emisji anten 115° | 54°0'7,9" | 16°44'41,8" | < 2,0 | 0,3 – 2,0 | < 3,0 | < 0,008 |
| E23 | Na kierunku maksymalnej emisji anten 115° | 54°0'7,6" | 16°44'42,8" | < 2,0 | 0,3 – 2,0 | < 3,0 | < 0,008 |
| E24 | Na kierunku maksymalnej emisji anten 115° | 54°0'7,3" | 16°44'43,9" | < 2,0 | 0,3 – 2,0 | < 3,0 | < 0,008 |
| E25 | Na kierunku maksymalnej emisji anten 115° | 54°0'7" | 16°44'45" | < 2,0 | 0,3 – 2,0 | < 3,0 | < 0,008 |
| E26 | Na kierunku maksymalnej emisji anten 115° | 54°0'6,8" | 16°44'46" | < 2,0 | 0,3 – 2,0 | < 3,0 | < 0,008 |
| E27 | Na kierunku maksymalnej emisji anten 115° | 54°0'6,5" | 16°44'47,1" | < 2,0 | 0,3 – 2,0 | < 3,0 | < 0,008 |
| E28 | Na kierunku maksymalnej emisji anten 115° | 54°0'6,2" | 16°44'48,2" | < 2,0 | 0,3 – 2,0 | < 3,0 | < 0,008 |
| E29 | Na kierunku maksymalnej emisji anten 115° | 54°0'6" | 16°44'49,2" | < 2,0 | 0,3 – 2,0 | < 3,0 | < 0,008 |
| E30 | Na kierunku maksymalnej emisji anten 115° | 54°0'5,7" | 16°44'50,3" | < 2,0 | 0,3 – 2,0 | < 3,0 | < 0,008 |
| F1 | Na kierunku maksymalnej emisji anten 141,5° | 54°0'12,6" | 16°44'19,9" | < 2,0 | 0,3 – 2,0 | < 3,0 | < 0,008 |
| F2 | Na kierunku maksymalnej emisji anten 141,5° | 54°0'12,1" | 16°44'20,6" | < 2,0 | 0,3 – 2,0 | < 3,0 | < 0,008 |

Tabela 3. Wyniki pomiarów natężenia pola elektromagnetycznego w otoczeniu obiektu RTCN Koszalin / Gologóra, w warunkach normalnej eksploatacji urządzeń

| Nr pionu pomiarowego | Opis miejsca pomiaru | Współrzędne geograficzne pionu pomiarowego | | Wynik pomiaru natężenia pola elektrycznego E w paśmie częstotliwości 80 MHz – 45 GHz | | | Wyliczona wartość natężenia pola magnetycznego H w paśmie częstotliwości 80 MHz – 45 GHz (na podstawie wartości E): |
|----------------------|---|--|-------------|--|------------------|---|---|
| | | | | Max. wartość zmierzona | Wysokość pomiaru | Wartość E po uwzględnieniu poprawek i niepewności | |
| - | - | N | E | [V/m] | [m] | [V/m] | [A/m] |
| F3 | Na kierunku maksymalnej emisji anten 141,5° | 54°0'11,6" | 16°44'21,4" | < 2,0 | 0,3 – 2,0 | < 3,0 | < 0,008 |
| F4 | Na kierunku maksymalnej emisji anten 141,5° | 54°0'11,1" | 16°44'22,1" | < 2,0 | 0,3 – 2,0 | < 3,0 | < 0,008 |
| F5 | Na kierunku maksymalnej emisji anten 141,5° | 54°0'10,6" | 16°44'22,8" | < 2,0 | 0,3 – 2,0 | < 3,0 | < 0,008 |
| F6 | Na kierunku maksymalnej emisji anten 141,5° | 54°0'10,1" | 16°44'23,5" | < 2,0 | 0,3 – 2,0 | < 3,0 | < 0,008 |
| F7 | Na kierunku maksymalnej emisji anten 141,5° | 54°0'9,6" | 16°44'24,3" | < 2,0 | 0,3 – 2,0 | < 3,0 | < 0,008 |
| F8 | Na kierunku maksymalnej emisji anten 141,5° | 54°0'9,1" | 16°44'25" | < 2,0 | 0,3 – 2,0 | < 3,0 | < 0,008 |
| F9 | Na kierunku maksymalnej emisji anten 141,5° | 54°0'8,6" | 16°44'25,7" | < 2,0 | 0,3 – 2,0 | < 3,0 | < 0,008 |
| F10 | Na kierunku maksymalnej emisji anten 141,5° | 54°0'8,1" | 16°44'26,4" | < 2,0 | 0,3 – 2,0 | < 3,0 | < 0,008 |
| F11 | Na kierunku maksymalnej emisji anten 141,5° | 54°0'7,6" | 16°44'27,2" | < 2,0 | 0,3 – 2,0 | < 3,0 | < 0,008 |
| F12 | Na kierunku maksymalnej emisji anten 141,5° | 54°0'7,1" | 16°44'27,9" | < 2,0 | 0,3 – 2,0 | < 3,0 | < 0,008 |
| F13 | Na kierunku maksymalnej emisji anten 141,5° | 54°0'6,6" | 16°44'28,6" | < 2,0 | 0,3 – 2,0 | < 3,0 | < 0,008 |
| F14 | Na kierunku maksymalnej emisji anten 141,5° | 54°0'6,1" | 16°44'29,4" | < 2,0 | 0,3 – 2,0 | < 3,0 | < 0,008 |
| F15 | Na kierunku maksymalnej emisji anten 141,5° | 54°0'5,6" | 16°44'30,1" | < 2,0 | 0,3 – 2,0 | < 3,0 | < 0,008 |
| F16 | Na kierunku maksymalnej emisji anten 141,5° | 54°0'5,1" | 16°44'30,8" | < 2,0 | 0,3 – 2,0 | < 3,0 | < 0,008 |
| F17 | Na kierunku maksymalnej emisji anten 141,5° | 54°0'4,6" | 16°44'31,5" | < 2,0 | 0,3 – 2,0 | < 3,0 | < 0,008 |
| F18 | Na kierunku maksymalnej emisji anten 141,5° | 54°0'4,1" | 16°44'32,3" | < 2,0 | 0,3 – 2,0 | < 3,0 | < 0,008 |
| F19 | Na kierunku maksymalnej emisji anten 141,5° | 54°0'3,6" | 16°44'33" | < 2,0 | 0,3 – 2,0 | < 3,0 | < 0,008 |
| F20 | Na kierunku maksymalnej emisji anten 141,5° | 54°0'3,1" | 16°44'33,7" | < 2,0 | 0,3 – 2,0 | < 3,0 | < 0,008 |
| F21 | Na kierunku maksymalnej emisji anten 141,5° | 54°0'2,6" | 16°44'34,5" | < 2,0 | 0,3 – 2,0 | < 3,0 | < 0,008 |
| F22 | Na kierunku maksymalnej emisji anten 141,5° | 54°0'2,1" | 16°44'35,2" | < 2,0 | 0,3 – 2,0 | < 3,0 | < 0,008 |
| F23 | Na kierunku maksymalnej emisji anten 141,5° | 54°0'1,6" | 16°44'35,9" | < 2,0 | 0,3 – 2,0 | < 3,0 | < 0,008 |
| F24 | Na kierunku maksymalnej emisji anten 141,5° | 54°0'1,1" | 16°44'36,6" | < 2,0 | 0,3 – 2,0 | < 3,0 | < 0,008 |
| F25 | Na kierunku maksymalnej emisji anten 141,5° | 54°0'0,6" | 16°44'37,4" | < 2,0 | 0,3 – 2,0 | < 3,0 | < 0,008 |
| F26 | Na kierunku maksymalnej emisji anten 141,5° | 54°0'0,1" | 16°44'38,1" | < 2,0 | 0,3 – 2,0 | < 3,0 | < 0,008 |
| F27 | Na kierunku maksymalnej emisji anten 141,5° | 53°59'59,6" | 16°44'38,8" | < 2,0 | 0,3 – 2,0 | < 3,0 | < 0,008 |
| F28 | Na kierunku maksymalnej emisji anten 141,5° | 53°59'59,1" | 16°44'39,5" | < 2,0 | 0,3 – 2,0 | < 3,0 | < 0,008 |
| F29 | Na kierunku maksymalnej emisji anten 141,5° | 53°59'58,6" | 16°44'40,3" | < 2,0 | 0,3 – 2,0 | < 3,0 | < 0,008 |
| F30 | Na kierunku maksymalnej emisji anten 141,5° | 53°59'58,1" | 16°44'41" | < 2,0 | 0,3 – 2,0 | < 3,0 | < 0,008 |

Tabela 3. Wyniki pomiarów natężenia pola elektromagnetycznego w otoczeniu obiektu RTCN Koszalin / Gologóra, w warunkach normalnej eksploatacji urządzeń

| Nr pionu pomiarowego | Opis miejsca pomiaru | Współrzędne geograficzne pionu pomiarowego | | Wynik pomiaru natężenia pola elektrycznego E w paśmie częstotliwości 80 MHz – 45 GHz | | | Wyliczona wartość natężenia pola magnetycznego H w paśmie częstotliwości 80 MHz – 45 GHz (na podstawie wartości E): |
|----------------------|---|--|-------------|--|------------------|---|---|
| | | | | Max. wartość zmierzona | Wysokość pomiaru | Wartość E po uwzględnieniu poprawek i niepewności | |
| - | - | N | E | [V/m] | [m] | [V/m] | [A/m] |
| G1 | Na kierunku maksymalnej emisji anten 180° | 54°0'11,3" | 16°44'18,1" | < 2,0 | 0,3 – 2,0 | < 3,0 | < 0,008 |
| G2 | Na kierunku maksymalnej emisji anten 180° | 54°0'10,6" | 16°44'18,1" | < 2,0 | 0,3 – 2,0 | < 3,0 | < 0,008 |
| G3 | Na kierunku maksymalnej emisji anten 180° | 54°0'10" | 16°44'18,1" | < 2,0 | 0,3 – 2,0 | < 3,0 | < 0,008 |
| G4 | Na kierunku maksymalnej emisji anten 180° | 54°0'8" | 16°44'18,1" | < 2,0 | 0,3 – 2,0 | < 3,0 | < 0,008 |
| G5 | Na kierunku maksymalnej emisji anten 180° | 54°0'7,3" | 16°44'18,1" | < 2,0 | 0,3 – 2,0 | < 3,0 | < 0,008 |
| G6 | Na kierunku maksymalnej emisji anten 180° | 54°0'5,4" | 16°44'18,1" | < 2,0 | 0,3 – 2,0 | < 3,0 | < 0,008 |
| G7 | Na kierunku maksymalnej emisji anten 180° | 54°0'4,7" | 16°44'18,1" | < 2,0 | 0,3 – 2,0 | < 3,0 | < 0,008 |
| G8 | Na kierunku maksymalnej emisji anten 180° | 54°0'4" | 16°44'18,1" | < 2,0 | 0,3 – 2,0 | < 3,0 | < 0,008 |
| G9 | Na kierunku maksymalnej emisji anten 180° | 54°0'3,4" | 16°44'18,1" | < 2,0 | 0,3 – 2,0 | < 3,0 | < 0,008 |
| G10 | Na kierunku maksymalnej emisji anten 180° | 54°0'2,7" | 16°44'18,1" | < 2,0 | 0,3 – 2,0 | < 3,0 | < 0,008 |
| G11 | Na kierunku maksymalnej emisji anten 180° | 54°0'2" | 16°44'18,1" | < 2,0 | 0,3 – 2,0 | < 3,0 | < 0,008 |
| G12 | Na kierunku maksymalnej emisji anten 180° | 54°0'1,4" | 16°44'18,1" | < 2,0 | 0,3 – 2,0 | < 3,0 | < 0,008 |
| G13 | Na kierunku maksymalnej emisji anten 180° | 54°0'0,7" | 16°44'18,1" | < 2,0 | 0,3 – 2,0 | < 3,0 | < 0,008 |
| G14 | Na kierunku maksymalnej emisji anten 180° | 54°0'0,1" | 16°44'18,1" | < 2,0 | 0,3 – 2,0 | < 3,0 | < 0,008 |
| G15 | Na kierunku maksymalnej emisji anten 180° | 53°59'59,4" | 16°44'18,1" | < 2,0 | 0,3 – 2,0 | < 3,0 | < 0,008 |
| G16 | Na kierunku maksymalnej emisji anten 180° | 53°59'58,7" | 16°44'18,1" | < 2,0 | 0,3 – 2,0 | < 3,0 | < 0,008 |
| G17 | Na kierunku maksymalnej emisji anten 180° | 53°59'58,1" | 16°44'18,1" | < 2,0 | 0,3 – 2,0 | < 3,0 | < 0,008 |
| G18 | Na kierunku maksymalnej emisji anten 180° | 53°59'57,4" | 16°44'18,1" | < 2,0 | 0,3 – 2,0 | < 3,0 | < 0,008 |
| G19 | Na kierunku maksymalnej emisji anten 180° | 53°59'56,8" | 16°44'18,1" | < 2,0 | 0,3 – 2,0 | < 3,0 | < 0,008 |
| G20 | Na kierunku maksymalnej emisji anten 180° | 53°59'56,1" | 16°44'18,1" | < 2,0 | 0,3 – 2,0 | < 3,0 | < 0,008 |
| G21 | Na kierunku maksymalnej emisji anten 180° | 53°59'55,4" | 16°44'18,1" | < 2,0 | 0,3 – 2,0 | < 3,0 | < 0,008 |
| G22 | Na kierunku maksymalnej emisji anten 180° | 53°59'54,8" | 16°44'18,1" | < 2,0 | 0,3 – 2,0 | < 3,0 | < 0,008 |
| G23 | Na kierunku maksymalnej emisji anten 180° | 53°59'54,1" | 16°44'18,1" | < 2,0 | 0,3 – 2,0 | < 3,0 | < 0,008 |
| G24 | Na kierunku maksymalnej emisji anten 180° | 53°59'53,5" | 16°44'18,1" | < 2,0 | 0,3 – 2,0 | < 3,0 | < 0,008 |
| G25 | Na kierunku maksymalnej emisji anten 180° | 53°59'52,8" | 16°44'18,1" | < 2,0 | 0,3 – 2,0 | < 3,0 | < 0,008 |
| H1 | Na kierunku maksymalnej emisji anten 215° | 54°0'11,2" | 16°44'15,3" | < 2,0 | 0,3 – 2,0 | < 3,0 | < 0,008 |
| H2 | Na kierunku maksymalnej emisji anten 215° | 54°0'10,6" | 16°44'14,7" | < 2,0 | 0,3 – 2,0 | < 3,0 | < 0,008 |
| H3 | Na kierunku maksymalnej emisji anten 215° | 54°0'10,1" | 16°44'14,1" | < 2,0 | 0,3 – 2,0 | < 3,0 | < 0,008 |

Tabela 3. Wyniki pomiarów natężenia pola elektromagnetycznego w otoczeniu obiektu RTCN Koszalin / Gologóra, w warunkach normalnej eksploatacji urządzeń

| Nr pionu pomiarowego | Opis miejsca pomiaru | Współrzędne geograficzne pionu pomiarowego | | Wynik pomiaru natężenia pola elektrycznego E w paśmie częstotliwości 80 MHz – 45 GHz | | | Wyliczona wartość natężenia pola magnetycznego H w paśmie częstotliwości 80 MHz – 45 GHz (na podstawie wartości E): |
|----------------------|---|--|-------------|--|------------------|---|---|
| | | | | Max. wartość zmierzona | Wysokość pomiaru | Wartość E po uwzględnieniu poprawek i niepewności | |
| - | - | N | E | [V/m] | [m] | [V/m] | [A/m] |
| H4 | Na kierunku maksymalnej emisji anten 215° | 54°0'9,5" | 16°44'13,5" | < 2,0 | 0,3 – 2,0 | < 3,0 | < 0,008 |
| H5 | Na kierunku maksymalnej emisji anten 215° | 54°00'9,0" | 16°44'12,8" | < 2,0 | 0,3 – 2,0 | < 3,0 | < 0,008 |
| H6 | Na kierunku maksymalnej emisji anten 215° | 54°0'8,4" | 16°44'12,2" | < 2,0 | 0,3 – 2,0 | < 3,0 | < 0,008 |
| H7 | Na kierunku maksymalnej emisji anten 215° | 54°0'7,8" | 16°44'11,6" | < 2,0 | 0,3 – 2,0 | < 3,0 | < 0,008 |
| H8 | Na kierunku maksymalnej emisji anten 215° | 54°0'7,3" | 16°44'11" | < 2,0 | 0,3 – 2,0 | < 3,0 | < 0,008 |
| H9 | Na kierunku maksymalnej emisji anten 215° | 54°0'6,7" | 16°44'10,4" | < 2,0 | 0,3 – 2,0 | < 3,0 | < 0,008 |
| H10 | Na kierunku maksymalnej emisji anten 215° | 54°0'6,2" | 16°44'9,8" | < 2,0 | 0,3 – 2,0 | < 3,0 | < 0,008 |
| H11 | Na kierunku maksymalnej emisji anten 215° | 54°0'5,6" | 16°44'9,2" | < 2,0 | 0,3 – 2,0 | < 3,0 | < 0,008 |
| H12 | Na kierunku maksymalnej emisji anten 215° | 54°00'5,0" | 16°44'8,5" | < 2,0 | 0,3 – 2,0 | < 3,0 | < 0,008 |
| H13 | Na kierunku maksymalnej emisji anten 215° | 54°0'4,5" | 16°44'7,9" | < 2,0 | 0,3 – 2,0 | < 3,0 | < 0,008 |
| H14 | Na kierunku maksymalnej emisji anten 215° | 54°0'3,9" | 16°44'7,3" | < 2,0 | 0,3 – 2,0 | < 3,0 | < 0,008 |
| H15 | Na kierunku maksymalnej emisji anten 215° | 54°0'3,4" | 16°44'6,7" | < 2,0 | 0,3 – 2,0 | < 3,0 | < 0,008 |
| H16 | Na kierunku maksymalnej emisji anten 215° | 54°0'2,8" | 16°44'6,1" | < 2,0 | 0,3 – 2,0 | < 3,0 | < 0,008 |
| H17 | Na kierunku maksymalnej emisji anten 215° | 54°0'2,3" | 16°44'5,5" | < 2,0 | 0,3 – 2,0 | < 3,0 | < 0,008 |
| H18 | Na kierunku maksymalnej emisji anten 215° | 54°0'1,7" | 16°44'4,8" | < 2,0 | 0,3 – 2,0 | < 3,0 | < 0,008 |
| H19 | Na kierunku maksymalnej emisji anten 215° | 54°0'1,1" | 16°44'4,2" | < 2,0 | 0,3 – 2,0 | < 3,0 | < 0,008 |
| H20 | Na kierunku maksymalnej emisji anten 215° | 54°0'0,6" | 16°44'3,6" | < 2,0 | 0,3 – 2,0 | < 3,0 | < 0,008 |
| H21 | Na kierunku maksymalnej emisji anten 215° | 54°00'00" | 16°44'3" | < 2,0 | 0,3 – 2,0 | < 3,0 | < 0,008 |
| H22 | Na kierunku maksymalnej emisji anten 215° | 53°59'59,5" | 16°44'2,4" | < 2,0 | 0,3 – 2,0 | < 3,0 | < 0,008 |
| H23 | Na kierunku maksymalnej emisji anten 215° | 53°59'58,9" | 16°44'1,8" | < 2,0 | 0,3 – 2,0 | < 3,0 | < 0,008 |
| H24 | Na kierunku maksymalnej emisji anten 215° | 53°59'58,3" | 16°44'1,2" | < 2,0 | 0,3 – 2,0 | < 3,0 | < 0,008 |
| H25 | Na kierunku maksymalnej emisji anten 215° | 53°59'57,8" | 16°44'0,5" | < 2,0 | 0,3 – 2,0 | < 3,0 | < 0,008 |
| H26 | Na kierunku maksymalnej emisji anten 215° | 53°59'57,2" | 16°43'59,9" | < 2,0 | 0,3 – 2,0 | < 3,0 | < 0,008 |
| H27 | Na kierunku maksymalnej emisji anten 215° | 53°59'56,7" | 16°43'59,3" | < 2,0 | 0,3 – 2,0 | < 3,0 | < 0,008 |
| H28 | Na kierunku maksymalnej emisji anten 215° | 53°59'56,1" | 16°43'58,7" | < 2,0 | 0,3 – 2,0 | < 3,0 | < 0,008 |
| J1 | Na kierunku maksymalnej emisji anten 261,5° | 54°0'13,3" | 16°44'15,2" | < 2,0 | 0,3 – 2,0 | < 3,0 | < 0,008 |
| J2 | Na kierunku maksymalnej emisji anten 261,5° | 54°0'13,2" | 16°44'14,1" | < 2,0 | 0,3 – 2,0 | < 3,0 | < 0,008 |
| J3 | Na kierunku maksymalnej emisji anten 261,5° | 54°0'12,5" | 16°44'7,2" | < 2,0 | 0,3 – 2,0 | < 3,0 | < 0,008 |

Tabela 3. Wyniki pomiarów natężenia pola elektromagnetycznego w otoczeniu obiektu RTCN Koszalin / Gologóra, w warunkach normalnej eksploatacji urządzeń

| Nr pionu pomiarowego | Opis miejsca pomiaru | Współrzędne geograficzne pionu pomiarowego | | Wynik pomiaru natężenia pola elektrycznego E w paśmie częstotliwości 80 MHz – 45 GHz | | | Wyliczona wartość natężenia pola magnetycznego H w paśmie częstotliwości 80 MHz – 45 GHz (na podstawie wartości E): |
|----------------------|---|--|-------------|--|------------------|---|---|
| | | | | Max. wartość zmierzona | Wysokość pomiaru | Wartość E po uwzględnieniu poprawek i niepewności | |
| - | - | N | E | [V/m] | [m] | [V/m] | [A/m] |
| J4 | Na kierunku maksymalnej emisji anten 261,5° | 54°0'12,4" | 16°44'6,1" | < 2,0 | 0,3 – 2,0 | < 3,0 | < 0,008 |
| J5 | Na kierunku maksymalnej emisji anten 261,5° | 54°0'12,3" | 16°44'4,9" | < 2,0 | 0,3 – 2,0 | < 3,0 | < 0,008 |
| J6 | Na kierunku maksymalnej emisji anten 261,5° | 54°0'12,2" | 16°44'3,8" | < 2,0 | 0,3 – 2,0 | < 3,0 | < 0,008 |
| J7 | Na kierunku maksymalnej emisji anten 261,5° | 54°0'12,1" | 16°44'2,7" | < 2,0 | 0,3 – 2,0 | < 3,0 | < 0,008 |
| J8 | Na kierunku maksymalnej emisji anten 261,5° | 54°0'12" | 16°44'1,5" | < 2,0 | 0,3 – 2,0 | < 3,0 | < 0,008 |
| J9 | Na kierunku maksymalnej emisji anten 261,5° | 54°0'11,9" | 16°44'0,4" | < 2,0 | 0,3 – 2,0 | < 3,0 | < 0,008 |
| J10 | Na kierunku maksymalnej emisji anten 261,5° | 54°0'11,7" | 16°43'59,3" | < 2,0 | 0,3 – 2,0 | < 3,0 | < 0,008 |
| J11 | Na kierunku maksymalnej emisji anten 261,5° | 54°0'11,6" | 16°43'58,1" | < 2,0 | 0,3 – 2,0 | < 3,0 | < 0,008 |
| J12 | Na kierunku maksymalnej emisji anten 261,5° | 54°0'11,5" | 16°43'57" | < 2,0 | 0,3 – 2,0 | < 3,0 | < 0,008 |
| J13 | Na kierunku maksymalnej emisji anten 261,5° | 54°0'11,4" | 16°43'55,8" | < 2,0 | 0,3 – 2,0 | < 3,0 | < 0,008 |
| J14 | Na kierunku maksymalnej emisji anten 261,5° | 54°0'11,3" | 16°43'54,7" | < 2,0 | 0,3 – 2,0 | < 3,0 | < 0,008 |
| J15 | Na kierunku maksymalnej emisji anten 261,5° | 54°0'11,2" | 16°43'53,6" | < 2,0 | 0,3 – 2,0 | < 3,0 | < 0,008 |
| J16 | Na kierunku maksymalnej emisji anten 261,5° | 54°0'11,1" | 16°43'52,4" | < 2,0 | 0,3 – 2,0 | < 3,0 | < 0,008 |
| J17 | Na kierunku maksymalnej emisji anten 261,5° | 54°0'11" | 16°43'51,3" | < 2,0 | 0,3 – 2,0 | < 3,0 | < 0,008 |
| J18 | Na kierunku maksymalnej emisji anten 261,5° | 54°0'10,9" | 16°43'50,1" | < 2,0 | 0,3 – 2,0 | < 3,0 | < 0,008 |
| J19 | Na kierunku maksymalnej emisji anten 261,5° | 54°0'10,8" | 16°43'49" | < 2,0 | 0,3 – 2,0 | < 3,0 | < 0,008 |
| J20 | Na kierunku maksymalnej emisji anten 261,5° | 54°0'10,6" | 16°43'47,9" | < 2,0 | 0,3 – 2,0 | < 3,0 | < 0,008 |
| J21 | Na kierunku maksymalnej emisji anten 261,5° | 54°0'10,5" | 16°43'46,7" | < 2,0 | 0,3 – 2,0 | < 3,0 | < 0,008 |
| J22 | Na kierunku maksymalnej emisji anten 261,5° | 54°0'10,4" | 16°43'45,6" | < 2,0 | 0,3 – 2,0 | < 3,0 | < 0,008 |
| J23 | Na kierunku maksymalnej emisji anten 261,5° | 54°0'10,3" | 16°43'44,4" | < 2,0 | 0,3 – 2,0 | < 3,0 | < 0,008 |
| J24 | Na kierunku maksymalnej emisji anten 261,5° | 54°0'10,2" | 16°43'43,3" | < 2,0 | 0,3 – 2,0 | < 3,0 | < 0,008 |
| K1 | Na kierunku maksymalnej emisji anten 261,5° | 54°0'13,9" | 16°44'14,5" | < 2,0 | 0,3 – 2,0 | < 3,0 | < 0,008 |
| K2 | Na kierunku maksymalnej emisji anten 261,5° | 54°0'13,9" | 16°44'13,4" | < 2,0 | 0,3 – 2,0 | < 3,0 | < 0,008 |
| K3 | Na kierunku maksymalnej emisji anten 261,5° | 54°0'13,9" | 16°44'6,6" | < 2,0 | 0,3 – 2,0 | < 3,0 | < 0,008 |
| K4 | Na kierunku maksymalnej emisji anten 261,5° | 54°0'13,9" | 16°44'5,5" | < 2,0 | 0,3 – 2,0 | < 3,0 | < 0,008 |
| K5 | Na kierunku maksymalnej emisji anten 261,5° | 54°0'13,9" | 16°44'4,3" | < 2,0 | 0,3 – 2,0 | < 3,0 | < 0,008 |
| K6 | Na kierunku maksymalnej emisji anten 261,5° | 54°0'13,9" | 16°44'3,2" | < 2,0 | 0,3 – 2,0 | < 3,0 | < 0,008 |
| K7 | Na kierunku maksymalnej emisji anten 261,5° | 54°0'13,9" | 16°44'2,1" | < 2,0 | 0,3 – 2,0 | < 3,0 | < 0,008 |

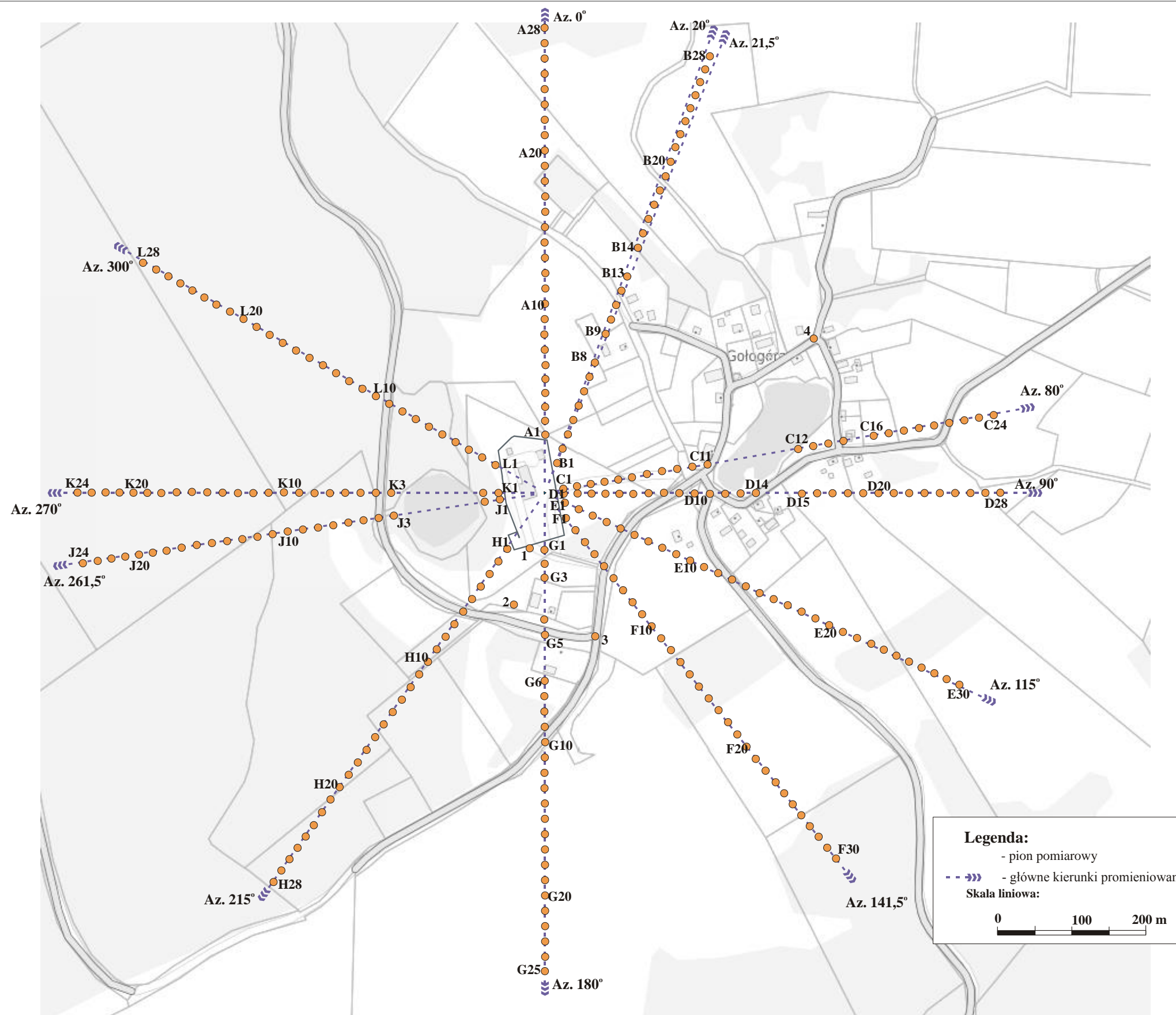
Tabela 3. Wyniki pomiarów natężenia pola elektromagnetycznego w otoczeniu obiektu RTCN Koszalin / Gologóra, w warunkach normalnej eksploatacji urządzeń

| Nr pionu pomiarowego | Opis miejsca pomiaru | Współrzędne geograficzne pionu pomiarowego | | Wynik pomiaru natężenia pola elektrycznego E w paśmie częstotliwości 80 MHz – 45 GHz | | | Wyliczona wartość natężenia pola magnetycznego H w paśmie częstotliwości 80 MHz – 45 GHz (na podstawie wartości E): |
|----------------------|---|--|-------------|--|------------------|---|---|
| | | | | Max. wartość zmierzona | Wysokość pomiaru | Wartość E po uwzględnieniu poprawek i niepewności | |
| - | - | N | E | [V/m] | [m] | [V/m] | [A/m] |
| K8 | Na kierunku maksymalnej emisji anten 261,5° | 54°0'13,9" | 16°44'1" | < 2,0 | 0,3 – 2,0 | < 3,0 | < 0,008 |
| K9 | Na kierunku maksymalnej emisji anten 261,5° | 54°0'13,9" | 16°43'59,8" | < 2,0 | 0,3 – 2,0 | < 3,0 | < 0,008 |
| K10 | Na kierunku maksymalnej emisji anten 261,5° | 54°0'13,9" | 16°43'58,7" | < 2,0 | 0,3 – 2,0 | < 3,0 | < 0,008 |
| K11 | Na kierunku maksymalnej emisji anten 261,5° | 54°0'13,9" | 16°43'57,6" | < 2,0 | 0,3 – 2,0 | < 3,0 | < 0,008 |
| K12 | Na kierunku maksymalnej emisji anten 261,5° | 54°0'13,9" | 16°43'56,4" | < 2,0 | 0,3 – 2,0 | < 3,0 | < 0,008 |
| K13 | Na kierunku maksymalnej emisji anten 261,5° | 54°0'13,9" | 16°43'55,3" | < 2,0 | 0,3 – 2,0 | < 3,0 | < 0,008 |
| K14 | Na kierunku maksymalnej emisji anten 261,5° | 54°0'13,9" | 16°43'54,2" | < 2,0 | 0,3 – 2,0 | < 3,0 | < 0,008 |
| K15 | Na kierunku maksymalnej emisji anten 261,5° | 54°0'13,9" | 16°43'53,1" | < 2,0 | 0,3 – 2,0 | < 3,0 | < 0,008 |
| K16 | Na kierunku maksymalnej emisji anten 261,5° | 54°0'13,9" | 16°43'51,9" | < 2,0 | 0,3 – 2,0 | < 3,0 | < 0,008 |
| K17 | Na kierunku maksymalnej emisji anten 261,5° | 54°0'13,9" | 16°43'50,8" | < 2,0 | 0,3 – 2,0 | < 3,0 | < 0,008 |
| K18 | Na kierunku maksymalnej emisji anten 261,5° | 54°0'13,9" | 16°43'49,7" | < 2,0 | 0,3 – 2,0 | < 3,0 | < 0,008 |
| K19 | Na kierunku maksymalnej emisji anten 261,5° | 54°0'13,9" | 16°43'48,5" | < 2,0 | 0,3 – 2,0 | < 3,0 | < 0,008 |
| K20 | Na kierunku maksymalnej emisji anten 261,5° | 54°0'13,9" | 16°43'47,4" | < 2,0 | 0,3 – 2,0 | < 3,0 | < 0,008 |
| K21 | Na kierunku maksymalnej emisji anten 261,5° | 54°0'13,9" | 16°43'46,3" | < 2,0 | 0,3 – 2,0 | < 3,0 | < 0,008 |
| K22 | Na kierunku maksymalnej emisji anten 261,5° | 54°0'13,9" | 16°43'45,2" | < 2,0 | 0,3 – 2,0 | < 3,0 | < 0,008 |
| K23 | Na kierunku maksymalnej emisji anten 261,5° | 54°0'13,9" | 16°43'44" | < 2,0 | 0,3 – 2,0 | < 3,0 | < 0,008 |
| K24 | Na kierunku maksymalnej emisji anten 261,5° | 54°0'13,9" | 16°43'42,9" | < 2,0 | 0,3 – 2,0 | < 3,0 | < 0,008 |
| L1 | Na kierunku maksymalnej emisji anten 300° | 54°0'15,1" | 16°44'14,9" | < 2,0 | 0,3 – 2,0 | < 3,0 | < 0,008 |
| L2 | Na kierunku maksymalnej emisji anten 300° | 54°0'15,4" | 16°44'16,1" | < 2,0 | 0,3 – 2,0 | < 3,0 | < 0,008 |
| L3 | Na kierunku maksymalnej emisji anten 300° | 54°0'15,7" | 16°44'17,3" | < 2,0 | 0,3 – 2,0 | < 3,0 | < 0,008 |
| L4 | Na kierunku maksymalnej emisji anten 300° | 54°0'16" | 16°44'18,5" | < 2,0 | 0,3 – 2,0 | < 3,0 | < 0,008 |
| L5 | Na kierunku maksymalnej emisji anten 300° | 54°0'16,3" | 16°44'19,7" | < 2,0 | 0,3 – 2,0 | < 3,0 | < 0,008 |
| L6 | Na kierunku maksymalnej emisji anten 300° | 54°0'16,7" | 16°44'20,9" | < 2,0 | 0,3 – 2,0 | < 3,0 | < 0,008 |
| L7 | Na kierunku maksymalnej emisji anten 300° | 54°0'17" | 16°44'22,1" | < 2,0 | 0,3 – 2,0 | < 3,0 | < 0,008 |
| L8 | Na kierunku maksymalnej emisji anten 300° | 54°0'17,3" | 16°44'23,3" | < 2,0 | 0,3 – 2,0 | < 3,0 | < 0,008 |
| L9 | Na kierunku maksymalnej emisji anten 300° | 54°0'17,6" | 16°44'24,5" | < 2,0 | 0,3 – 2,0 | < 3,0 | < 0,008 |
| L10 | Na kierunku maksymalnej emisji anten 300° | 54°0'17,9" | 16°44'25,7" | < 2,0 | 0,3 – 2,0 | < 3,0 | < 0,008 |
| L11 | Na kierunku maksymalnej emisji anten 300° | 54°0'18,2" | 16°44'26,9" | < 2,0 | 0,3 – 2,0 | < 3,0 | < 0,008 |

Tabela 3. Wyniki pomiarów natężenia pola elektromagnetycznego w otoczeniu obiektu RTCN Koszalin / Gologóra, w warunkach normalnej eksploatacji urządzeń

| Nr pionu pomiarowego | Opis miejsca pomiaru | Współrzędne geograficzne pionu pomiarowego | | Wynik pomiaru natężenia pola elektrycznego E w paśmie częstotliwości 80 MHz – 45 GHz | | | Wyliczona wartość natężenia pola magnetycznego H w paśmie częstotliwości 80 MHz – 45 GHz (na podstawie wartości E): |
|----------------------|---|--|-------------|--|------------------|---|---|
| | | | | Max. wartość zmierzona | Wysokość pomiaru | Wartość E po uwzględnieniu poprawek i niepewności | |
| - | - | N | E | [V/m] | [m] | [V/m] | [A/m] |
| L12 | Na kierunku maksymalnej emisji anten 300° | 54°0'18,5" | 16°44'28,1" | < 2,0 | 0,3 – 2,0 | < 3,0 | < 0,008 |
| L13 | Na kierunku maksymalnej emisji anten 300° | 54°0'18,8" | 16°44'29,3" | < 2,0 | 0,3 – 2,0 | < 3,0 | < 0,008 |
| L14 | Na kierunku maksymalnej emisji anten 300° | 54°0'19,1" | 16°44'30,5" | < 2,0 | 0,3 – 2,0 | < 3,0 | < 0,008 |
| L15 | Na kierunku maksymalnej emisji anten 300° | 54°0'19,5" | 16°44'31,6" | < 2,0 | 0,3 – 2,0 | < 3,0 | < 0,008 |
| L16 | Na kierunku maksymalnej emisji anten 300° | 54°0'19,8" | 16°44'32,8" | < 2,0 | 0,3 – 2,0 | < 3,0 | < 0,008 |
| L17 | Na kierunku maksymalnej emisji anten 300° | 54°0'20,1" | 16°44'34" | < 2,0 | 0,3 – 2,0 | < 3,0 | < 0,008 |
| L18 | Na kierunku maksymalnej emisji anten 300° | 54°0'20,4" | 16°44'35,2" | < 2,0 | 0,3 – 2,0 | < 3,0 | < 0,008 |
| L19 | Na kierunku maksymalnej emisji anten 300° | 54°0'20,7" | 16°44'36,4" | < 2,0 | 0,3 – 2,0 | < 3,0 | < 0,008 |
| L20 | Na kierunku maksymalnej emisji anten 300° | 54°0'21" | 16°44'37,6" | < 2,0 | 0,3 – 2,0 | < 3,0 | < 0,008 |
| L21 | Na kierunku maksymalnej emisji anten 300° | 54°0'21,3" | 16°44'38,8" | < 2,0 | 0,3 – 2,0 | < 3,0 | < 0,008 |
| L22 | Na kierunku maksymalnej emisji anten 300° | 54°0'21,6" | 16°44'40" | < 2,0 | 0,3 – 2,0 | < 3,0 | < 0,008 |
| L23 | Na kierunku maksymalnej emisji anten 300° | 54°0'21,9" | 16°44'41,2" | < 2,0 | 0,3 – 2,0 | < 3,0 | < 0,008 |
| L24 | Na kierunku maksymalnej emisji anten 300° | 54°0'22,3" | 16°44'42,4" | < 2,0 | 0,3 – 2,0 | < 3,0 | < 0,008 |
| L25 | Na kierunku maksymalnej emisji anten 300° | 54°0'22,6" | 16°44'43,6" | < 2,0 | 0,3 – 2,0 | < 3,0 | < 0,008 |
| L26 | Na kierunku maksymalnej emisji anten 300° | 54°0'22,9" | 16°44'44,8" | < 2,0 | 0,3 – 2,0 | < 3,0 | < 0,008 |
| L27 | Na kierunku maksymalnej emisji anten 300° | 54°0'23,2" | 16°44'46" | < 2,0 | 0,3 – 2,0 | < 3,0 | < 0,008 |
| L28 | Na kierunku maksymalnej emisji anten 300° | 54°0'23,5" | 16°44'47,2" | < 2,0 | 0,3 – 2,0 | < 3,0 | < 0,008 |
| 1 | Przed bramą RTCN | 54°0'11,5" | 16°44'17,1" | < 2,0 | 0,3 – 2,0 | < 3,0 | < 0,008 |
| 2 | Przy kotwie odciągu | 54°0'9,2" | 16°44'14,6" | < 2,0 | 0,3 – 2,0 | < 3,0 | < 0,008 |
| 3 | Na skrzyżowaniu dróg | 54°0'7,7" | 16°44'21,9" | < 2,0 | 0,3 – 2,0 | < 3,0 | < 0,008 |
| 4 | Na skrzyżowaniu dróg | 54°0'21,3" | 16°44'37,7" | < 2,0 | 0,3 – 2,0 | < 3,0 | < 0,008 |

* - wartość maksymalna – do obliczeń wartości wskaźnikowych emisji pól elektromagnetycznych



Rys. 1. Rozmieszczenie pionów pomiarowych w otoczeniu obiektu RTCN Koszalin / Gologóra

6. Dopuszczalne poziomy pól elektromagnetycznych w środowisku

Zgodnie z Rozporządzeniem Ministra Zdrowia z dnia 17 grudnia 2019 r. w sprawie dopuszczalnych poziomów pól elektromagnetycznych w środowisku dopuszczalne poziomy wynoszą:

| Zakres częstotliwości pola elektromagnetycznego | Składowa elektryczna E (V/m) | Składowa magnetyczna H (A/m) | Gęstość mocy S (W/m ²) |
|---|------------------------------|------------------------------|------------------------------------|
| od 10 MHz do 400 MHz | 28 | 0,073 | 2 |
| od 400 MHz do 2000 MHz | $1,375 \times f^{0,5}$ | $0,0037 \times f^{0,5}$ | $f / 200$ |
| od 2 GHz do 300 GHz | 61 | 0,16 | 10 |

Zgodnie z Rozporządzeniem Ministra Klimatu z dnia 17 lutego 2020 r. w sprawie sposobów sprawdzania dotrzymania dopuszczalnych poziomów pól elektromagnetycznych w środowisku, jeżeli w miejscach dostępnych dla ludności występują pola elektromagnetyczne o różnych dopuszczalnych poziomach w jednym zakresie częstotliwości lub z różnych zakresów częstotliwości, w ramach pomiarów szerokopasmowych wyznacza się w badanym zakresie częstotliwości wartości wskaźnikowe WME i WMH dla miejsc dostępnych dla ludności, odpowiednio dla składowej elektrycznej i magnetycznej pola, wyznaczone dla danego zakresu częstotliwości z zależności:

$$WM_E = \frac{E}{\min(ME_{gr})} \quad WM_H = \frac{H}{\min(MH_{gr})}$$

gdzie:

WM_E i WM_H – wartości wskaźnikowe poziomu emisji pól elektromagnetycznych dla miejsc dostępnych dla ludności dla składowej elektrycznej i magnetycznej pola,

E - oznacza zmierzoną wartość skuteczną natężenia pola elektrycznego E, wyrażoną w V/m

H - oznacza zmierzoną lub obliczoną (zgodnie z zależnością $H = E / 377 [\Omega]$) wartość skuteczną natężenia pola magnetycznego H, wyrażoną w A/m,

$\min(ME_{gr})$ i $\min(MH_{gr})$ – oznacza najniższą dopuszczalną wartość składowej elektrycznej i magnetycznej pola dla objętego pomiarami zakresu częstotliwości dla miejsc dostępnych dla ludności.

7. Wartości wskaźnikowe poziomu emisji pól elektromagnetycznych

Zgodnie z wzorami podanymi w punkcie 6. niniejszego sprawozdania maksymalne wartości wskaźnikowe poziomu emisji pól elektromagnetycznych dla miejsc dostępnych dla ludności w otoczeniu obiektu RTCN Koszalin / Gologóra wynoszą:

$$WM_E = 0,12; \quad WM_H = 0,12$$

8. Ocena oddziaływania pola na środowisko. Wnioski

W miejscach dostępnych dla ludności w otoczeniu obiektu: RTCN Koszalin / Gologóra dopuszczalne poziomy pól elektromagnetycznych w środowisku uznaje się za dotrzymane - żadna z wartości wskaźnikowych nie przekracza wartości 1.

Ponieważ ustawodawca określił sposób, w jaki niepewność pomiaru ma być stosowana w odniesieniu do wartości określonych w specyfikacji (Rozporządzenie Ministra Klimatu z dnia 17 lutego 2020 r. w sprawie sposobów sprawdzania dotrzymania dopuszczalnych poziomów pól elektromagnetycznych w środowisku, Załącznik p. 1.), laboratorium nie uwzględnia ryzyka błędnej akceptacji (zasada określona specyfikacją).

Pomiary kontrolne elektromagnetycznego promieniowania niejonizującego należy wykonywać każdorazowo w razie zmiany warunków pracy obiektu lub instalacji będących źródłami promieniowania, o ile te zmiany mogą mieć wpływ na zmianę poziomów niejonizującego promieniowania elektromagnetycznego.

9. Oświadczenia

- Wyniki pomiarów dotyczą warunków pracy źródeł pola-EM w dniu, w którym wykonano pomiary.
- Pomiary wykonano w warunkach normalnej eksploatacji urządzeń zainstalowanych na obiekcie.
- Oceny oddziaływania pola na środowisko dokonano przy uwzględnieniu maksymalnych zmierzonych poziomów pól w poszczególnych pionach pomiarowych.
- Bez pisemnej zgody Laboratorium sprawozdanie nie może być powielane inaczej niż w całości.
- Zleceniodawca ma prawo do reklamacji w terminie 14 dni licząc od daty stempla pocztowego lub od daty potwierdzenia przyjęcia sprawozdania.
- Laboratorium rozpatrzy reklamacje w terminie 30 dni licząc od daty otrzymania reklamacji.

Sprawozdanie opracował:

Kazimierz Zorn

----- **KONIEC SPRAWOZDANIA** -----